

SEM5950 - SEM0586

Legged Robots

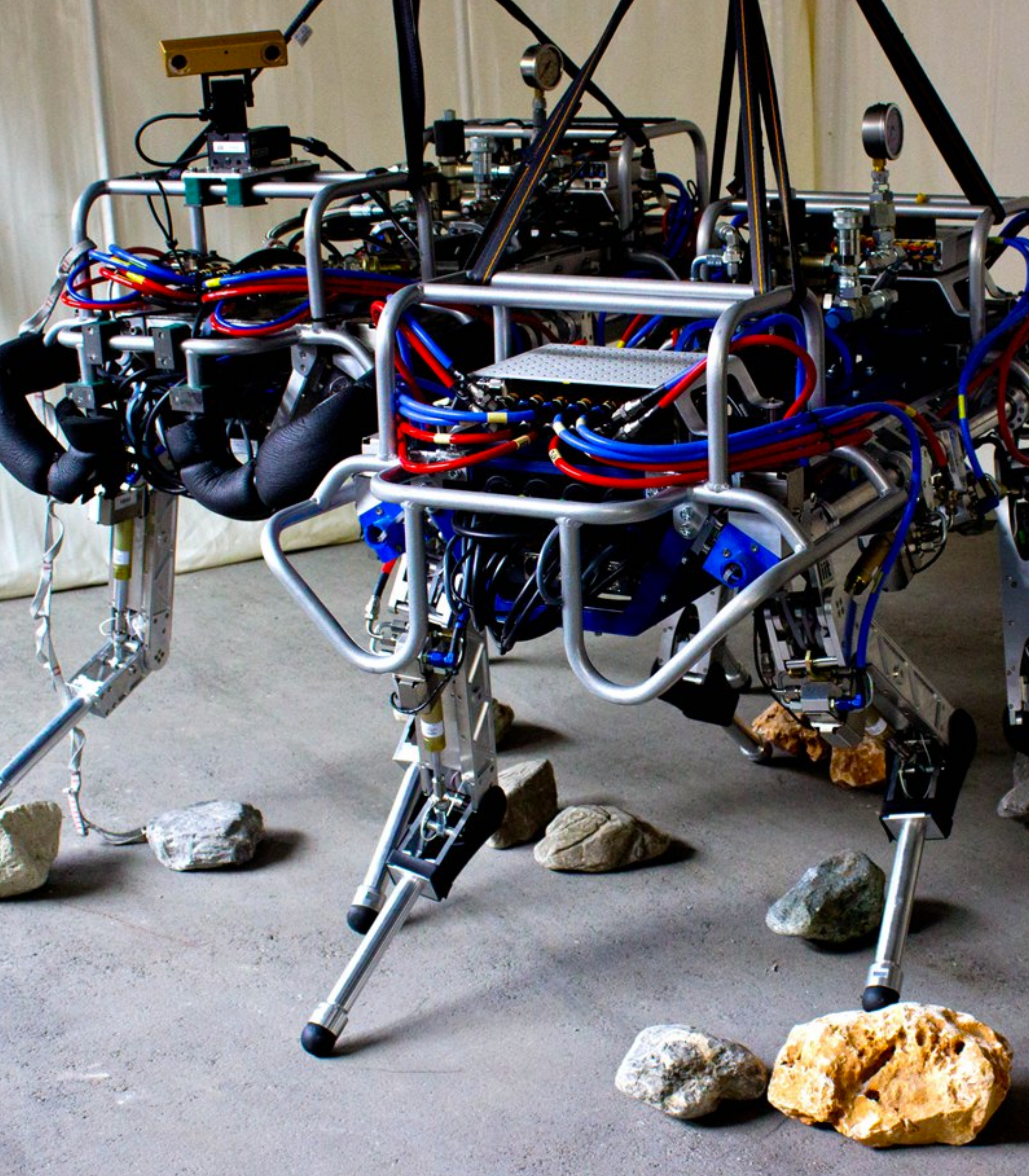
Aula #10: Estabilidade e passividade
de controladores de impedância

Prof. Dr. Thiago Boaventura

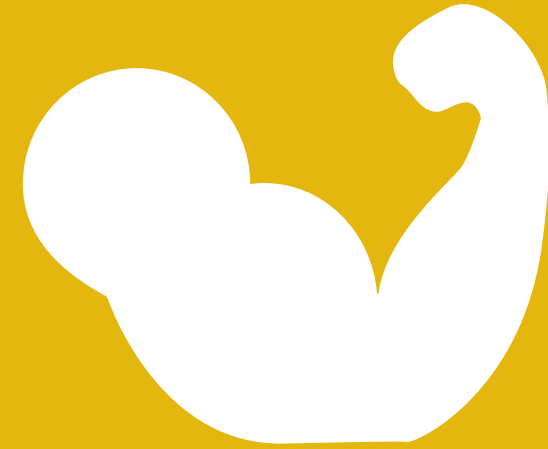
tboaventura@usp.br



São Carlos, 09/11/20

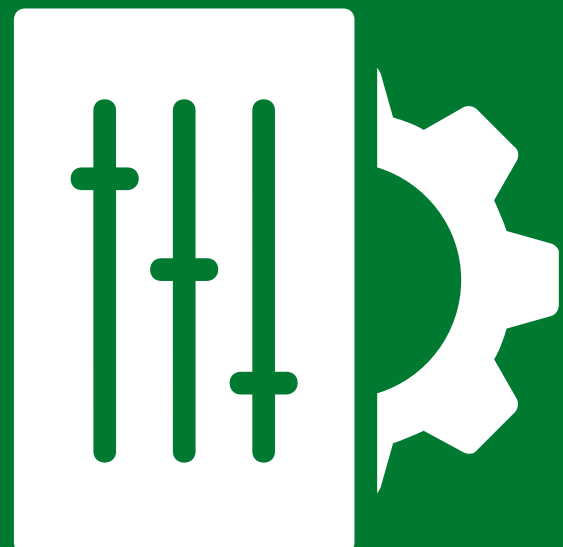


Conteúdo



- Controlador de impedância
- Controlador de força

Revisão



- Estabilidade da interação
- Passividade
- Z-width

Estabilidade



- Take-home messages
- Bibliografia

Conclusão

Conteúdo



- Controlador de impedância
- Controlador de força

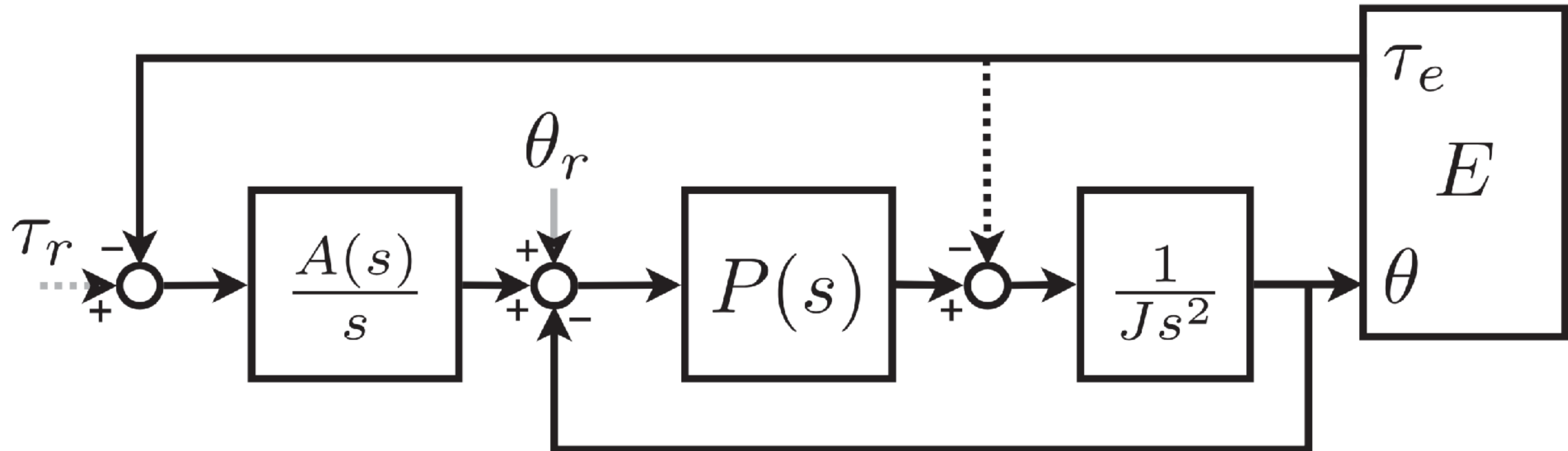
Revisão

Estabilidade

Conclusão

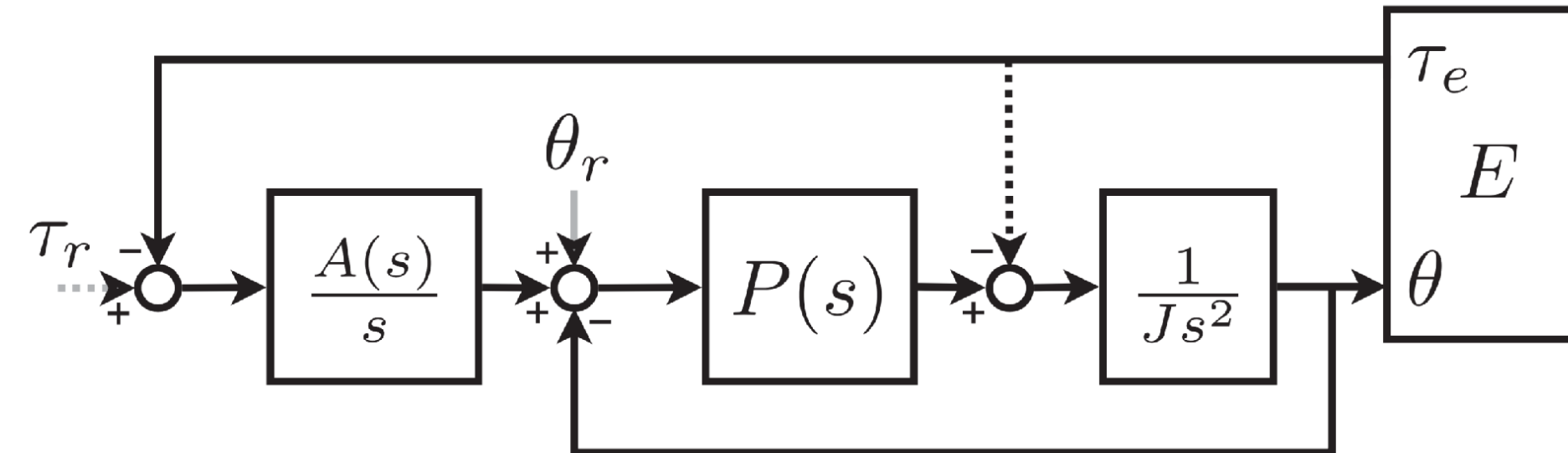
Controlador de admittância

“Controlador de impedância baseado em posição”



Controlador de admittância

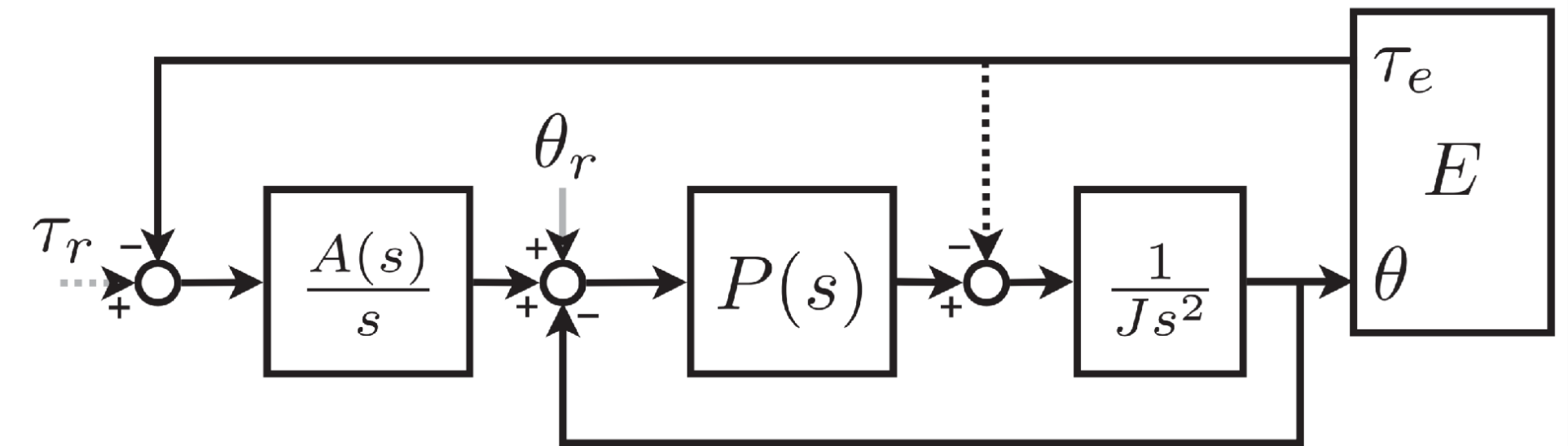
“Controlador de impedância baseado em posição”



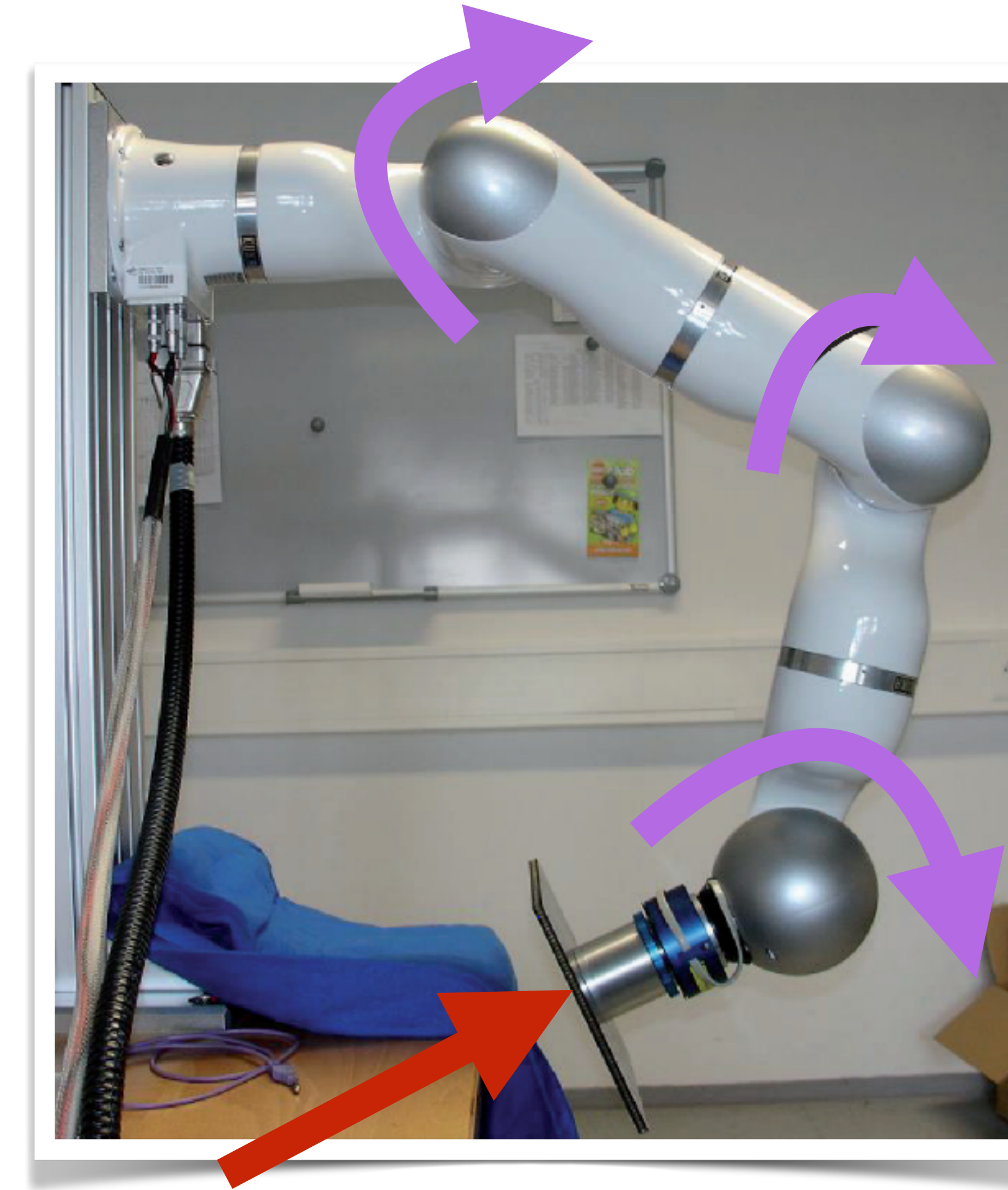
	Impedance	Admittance
Transfer function definition	$z(s) = \frac{f(s)}{v(s)}$	$a(s) = \frac{1}{z(s)} = \frac{v(s)}{f(s)}$
Spring	k/s	s/k
Mass	ms	$1/ms$
Damper	b	$1/b$
Spring-mass-damper	$ms + b + k/s$	$\frac{1}{ms+b+k/s}$

Controlador de admittance

“Controlador de impedância baseado em posição”

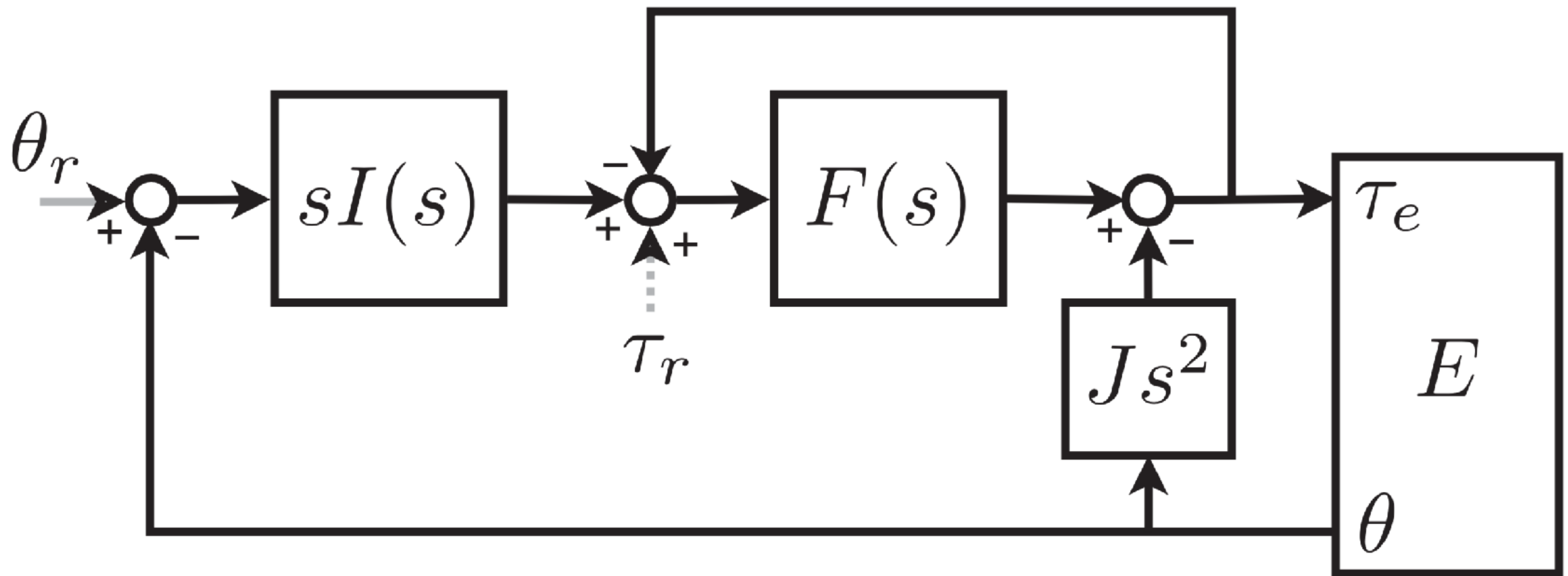


	Impedance	Admittance
Transfer function definition	$z(s) = \frac{f(s)}{v(s)}$	$a(s) = \frac{1}{z(s)} = \frac{v(s)}{f(s)}$
Spring	k/s	s/k
Mass	ms	$1/ms$
Damper	b	$1/b$
Spring-mass-damper	$ms + b + k/s$	$\frac{1}{ms+b+k/s}$



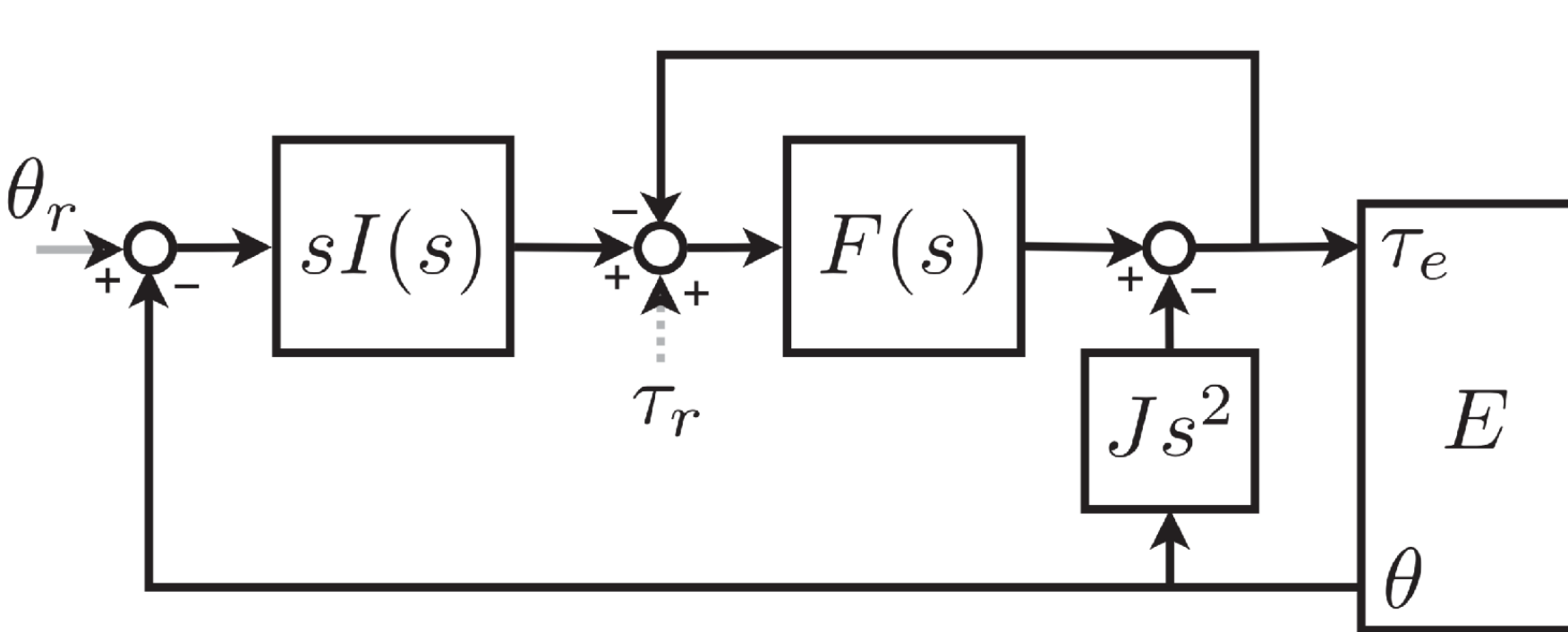
Controlador de impedância

“Controlador de impedância baseado em força”



Controlador de impedância

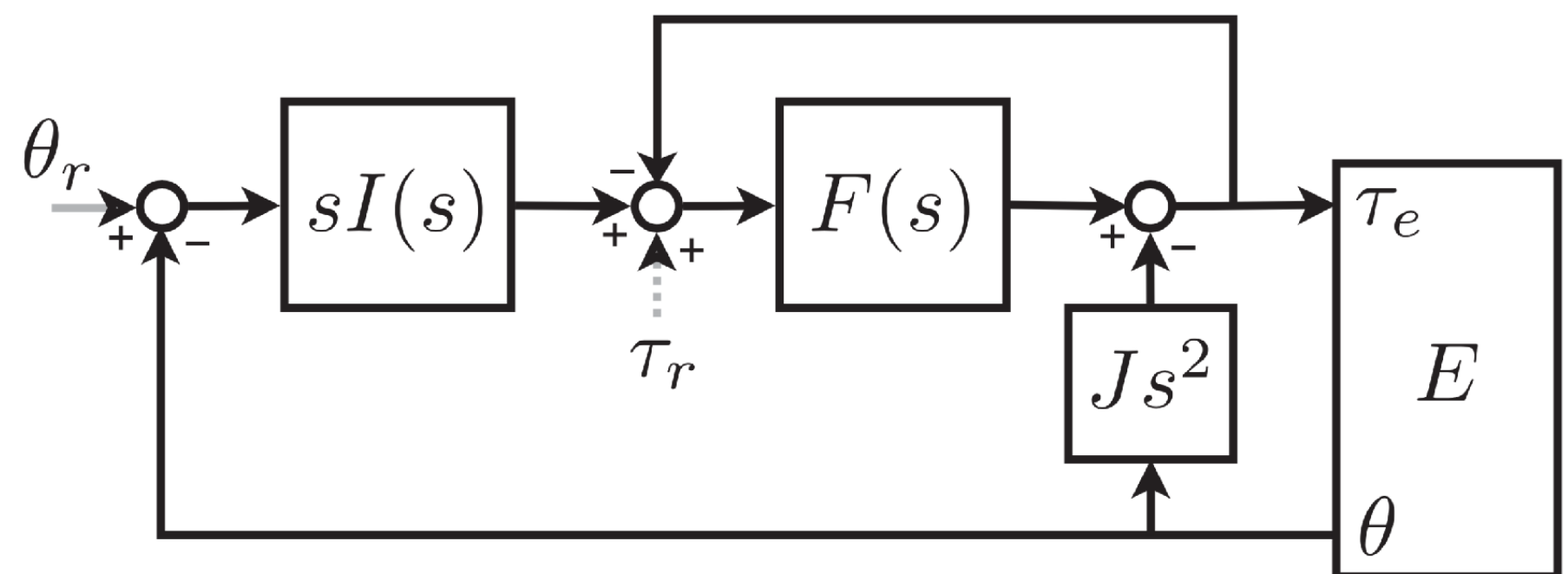
“Controlador de impedância baseado em força”



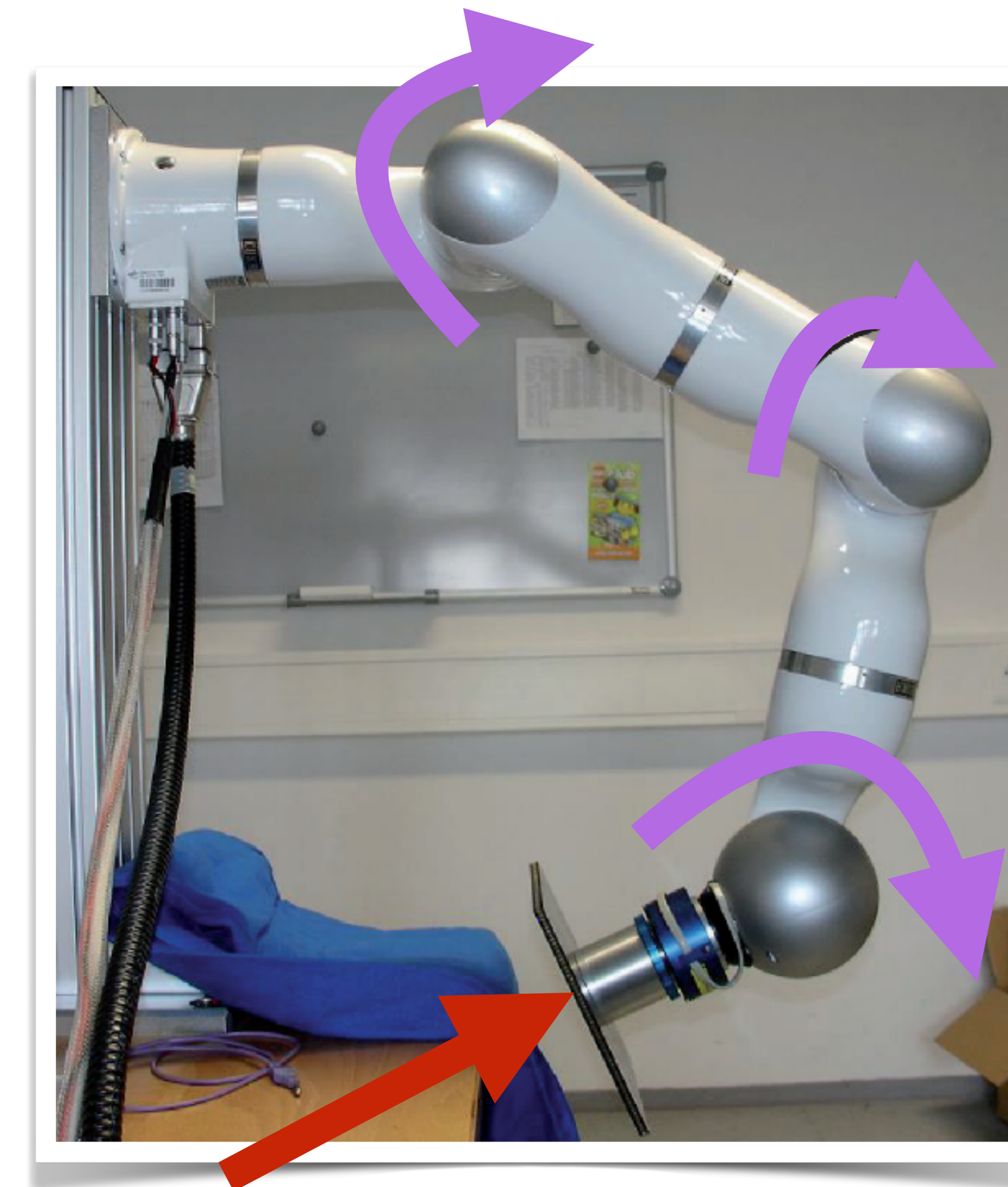
	Impedance	Admittance
Transfer function definition	$z(s) = \frac{f(s)}{v(s)}$	$a(s) = \frac{1}{z(s)} = \frac{v(s)}{f(s)}$
Spring	k/s	s/k
Mass	ms	$1/ms$
Damper	b	$1/b$
Spring-mass-damper	$ms + b + k/s$	$\frac{1}{ms+b+k/s}$

Controlador de impedância

“Controlador de impedância baseado em força”



	Impedance	Admittance
Transfer function definition	$z(s) = \frac{f(s)}{v(s)}$	$a(s) = \frac{1}{z(s)} = \frac{v(s)}{f(s)}$
Spring	k/s	s/k
Mass	ms	$1/ms$
Damper	b	$1/b$
Spring-mass-damper	$ms + b + k/s$	$\frac{1}{ms+b+k/s}$



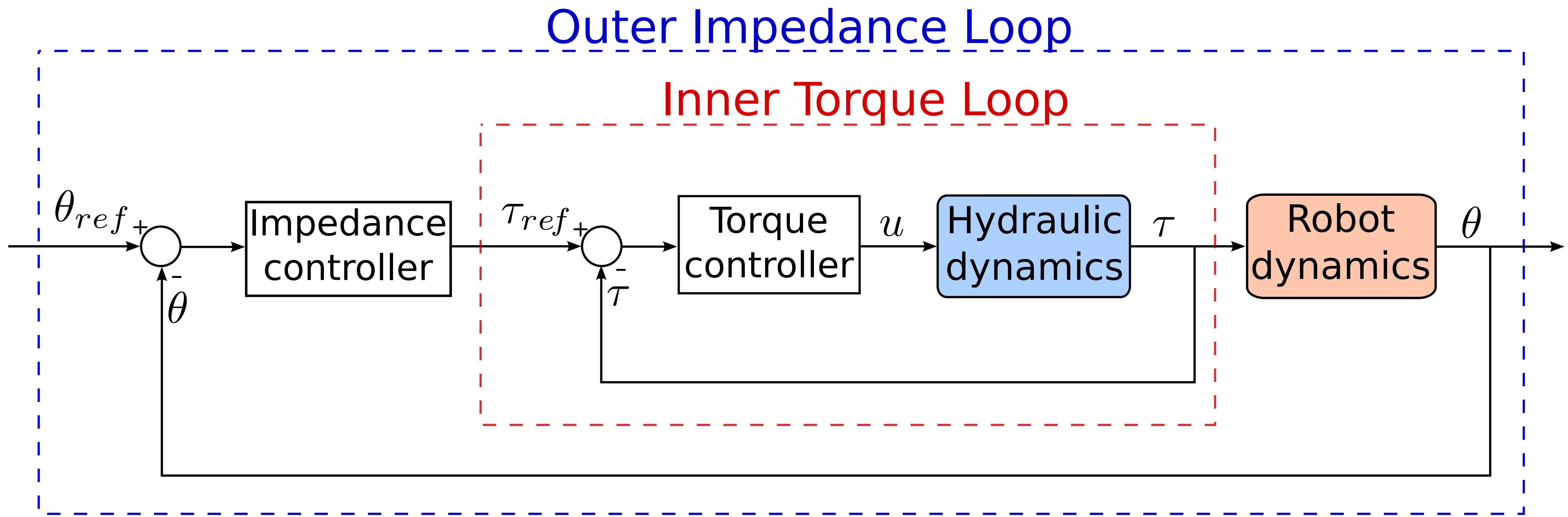
Controlador de impedância

“Controlador de impedância baseado em força”

$$\begin{aligned}\mathbf{T}_{act} = & \ I(\theta)\mathbf{J}^{-1}(\theta)\mathbf{M}^{-1}K[\mathbf{X}_0 - L(\theta)] + S(\theta) \text{ (position terms)} \\ & + \ I(\theta)\mathbf{J}^{-1}(\theta)\mathbf{M}^{-1}B[\mathbf{V}_0 - \mathbf{J}(\theta)\omega] + V(\omega) \text{ (velocity terms)} \\ & + \ I(\theta)\mathbf{J}^{-1}(\theta)\mathbf{M}^{-1}\mathbf{F}_{int} - \mathbf{J}^T(\theta)\mathbf{F}_{int} \text{ (force terms)} \\ & - \ I(\theta)\mathbf{J}^{-1}(\theta)G(\theta, \omega) + C(\theta, \omega) \text{ (inertial coupling terms)}\end{aligned}$$

Hogan, N. (1985). Impedance control: An approach to manipulation: Part II—Implementation. Journal of dynamic systems, measurement, and control, 107(1), 8-16.

Arquitetura clássica

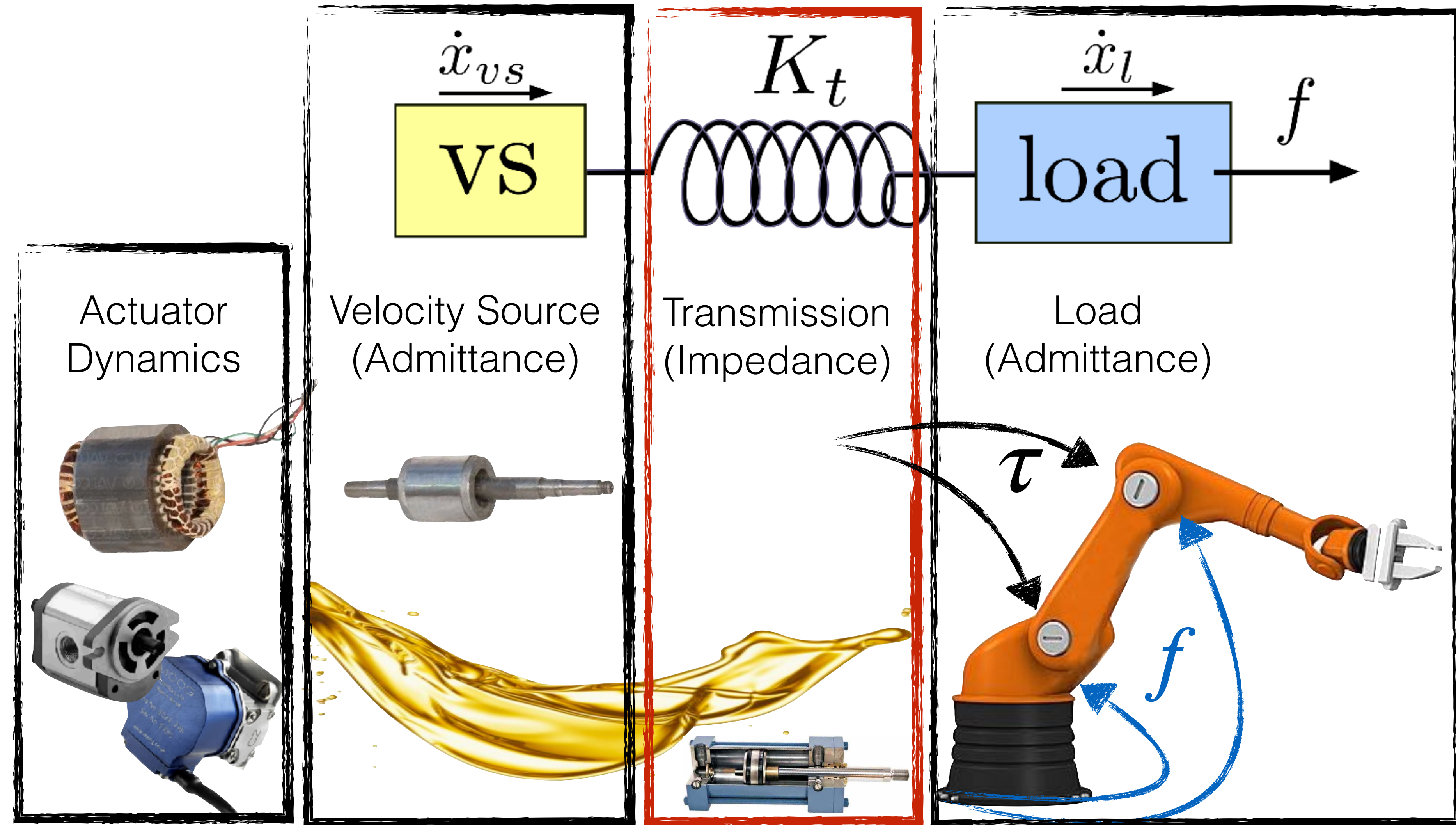


Cadeia de atuação

Revisão

Estabilidade

Conclusão



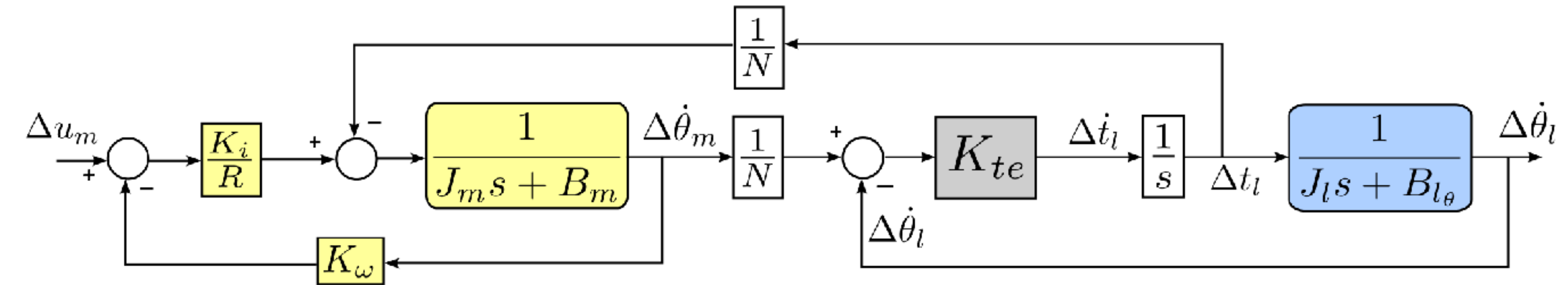
Realimentação intrínseca da velocidade

Revisão

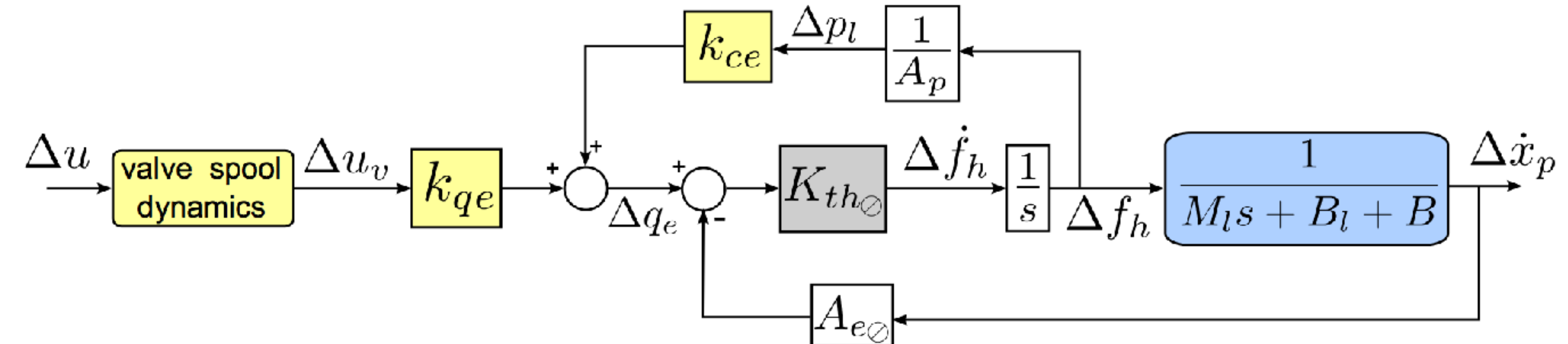
Estabilidade

Conclusão

**Electric
actuation**



**Hydraulic
actuation**



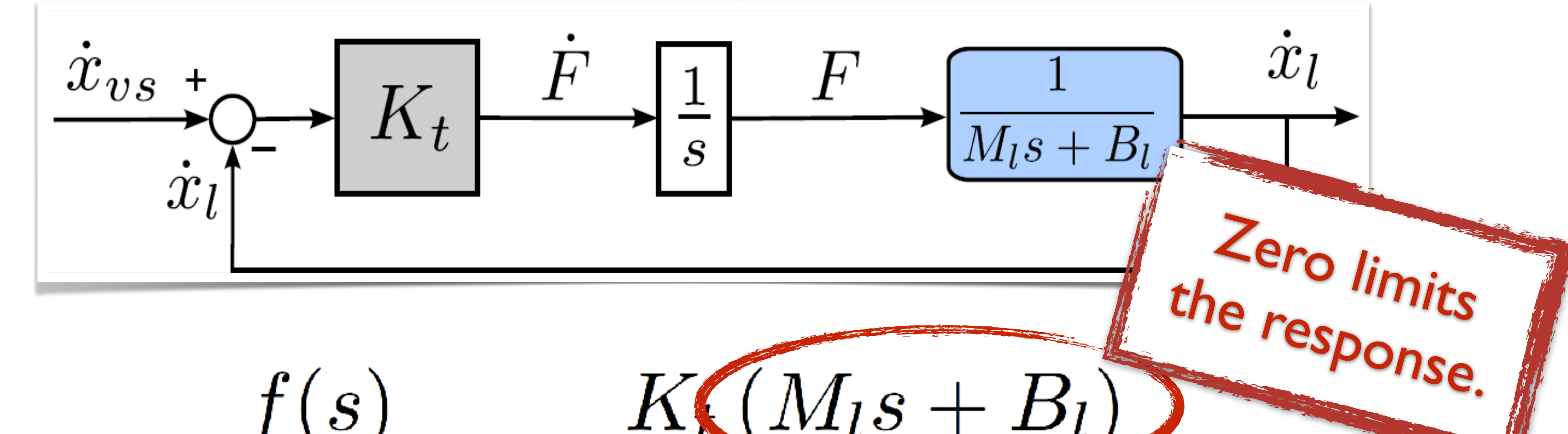
Boaventura, T., et al. On the role of load motion compensation in high-performance force control. IROS, 2012

Realimentação intrínseca da velocidade

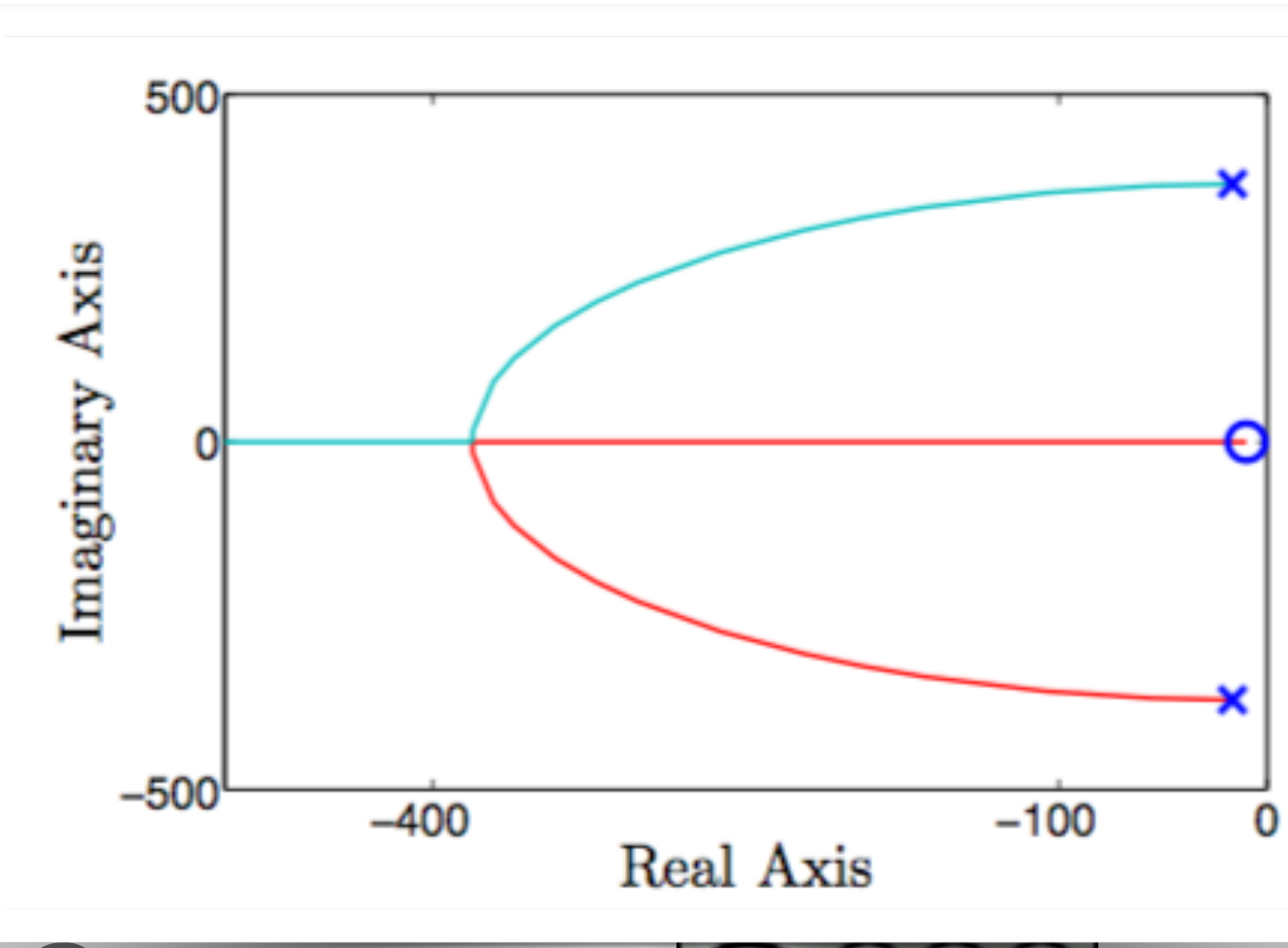
Revisão

Estabilidade

Conclusão



$$\frac{f(s)}{\dot{x}_{vs}(s)} = \frac{K_t(M_l s + B_l)}{s(M_l s + B_l) + K_t}$$



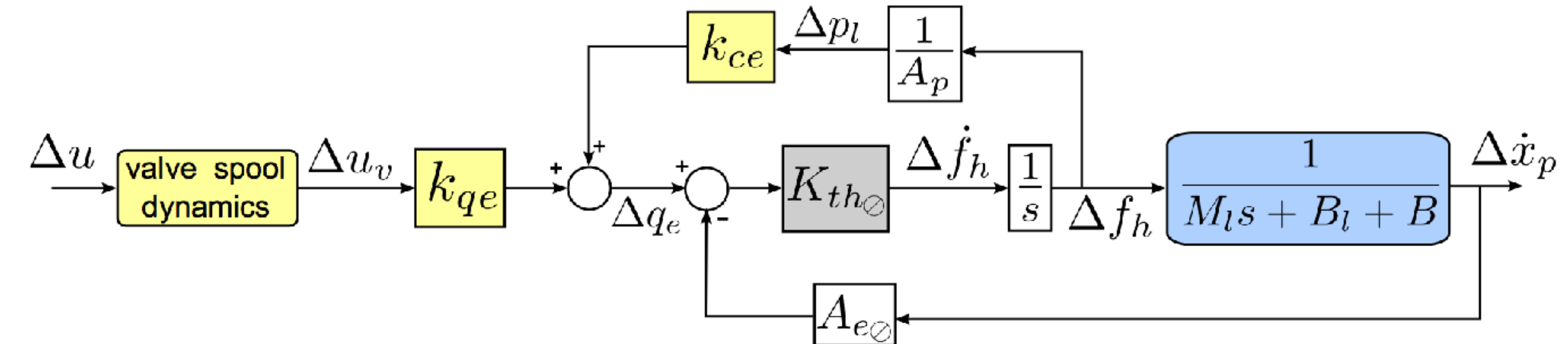
It does not depend
on the actuation

e of load motion compensation in high-performance force control. IROS, 2012

Compensação de velocidade baseada em modelo

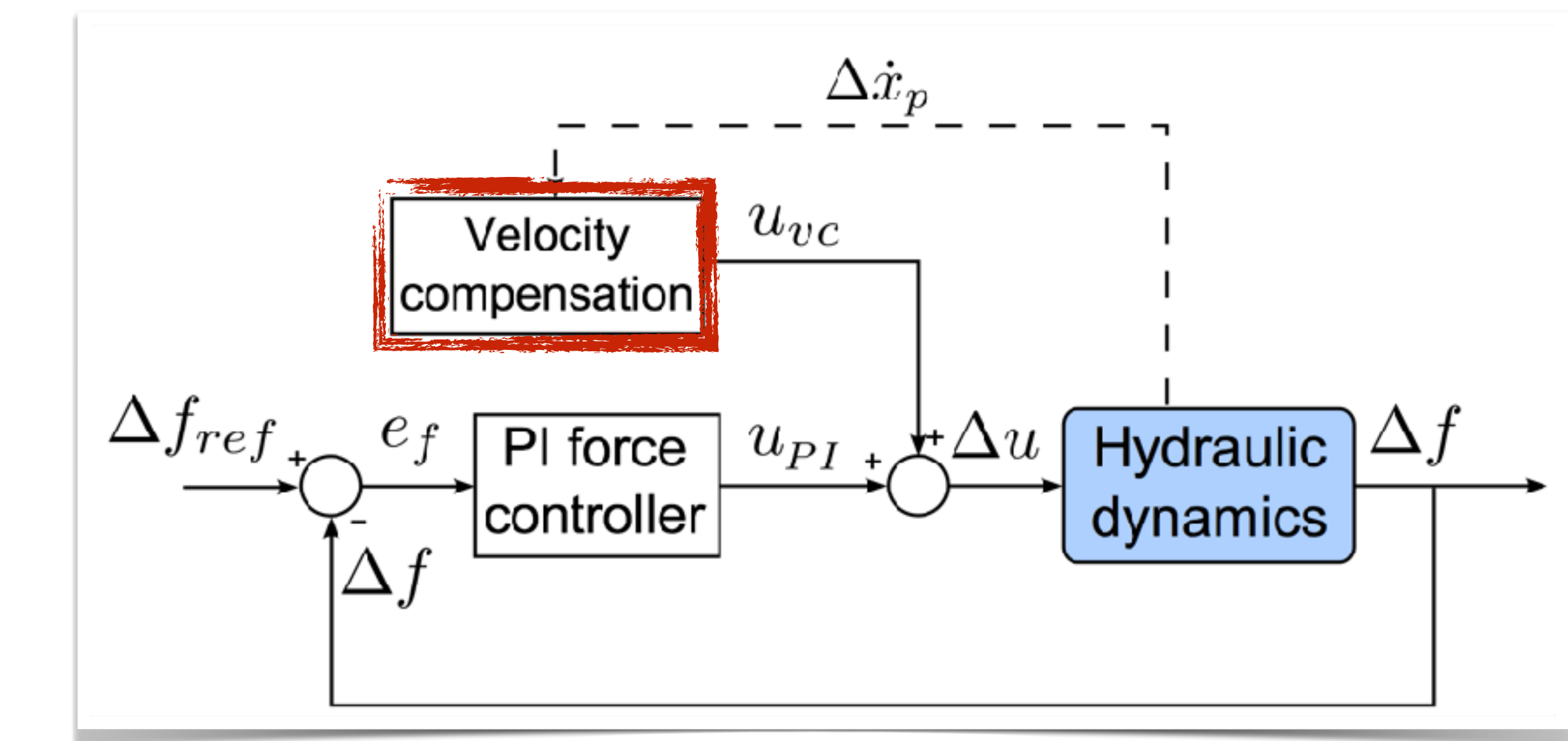
Revisão

Hydraulic actuation



Feedforward command:

$$u_{vc} = \frac{A_{e\emptyset} \Delta \dot{x}_p}{K_{qe}}$$



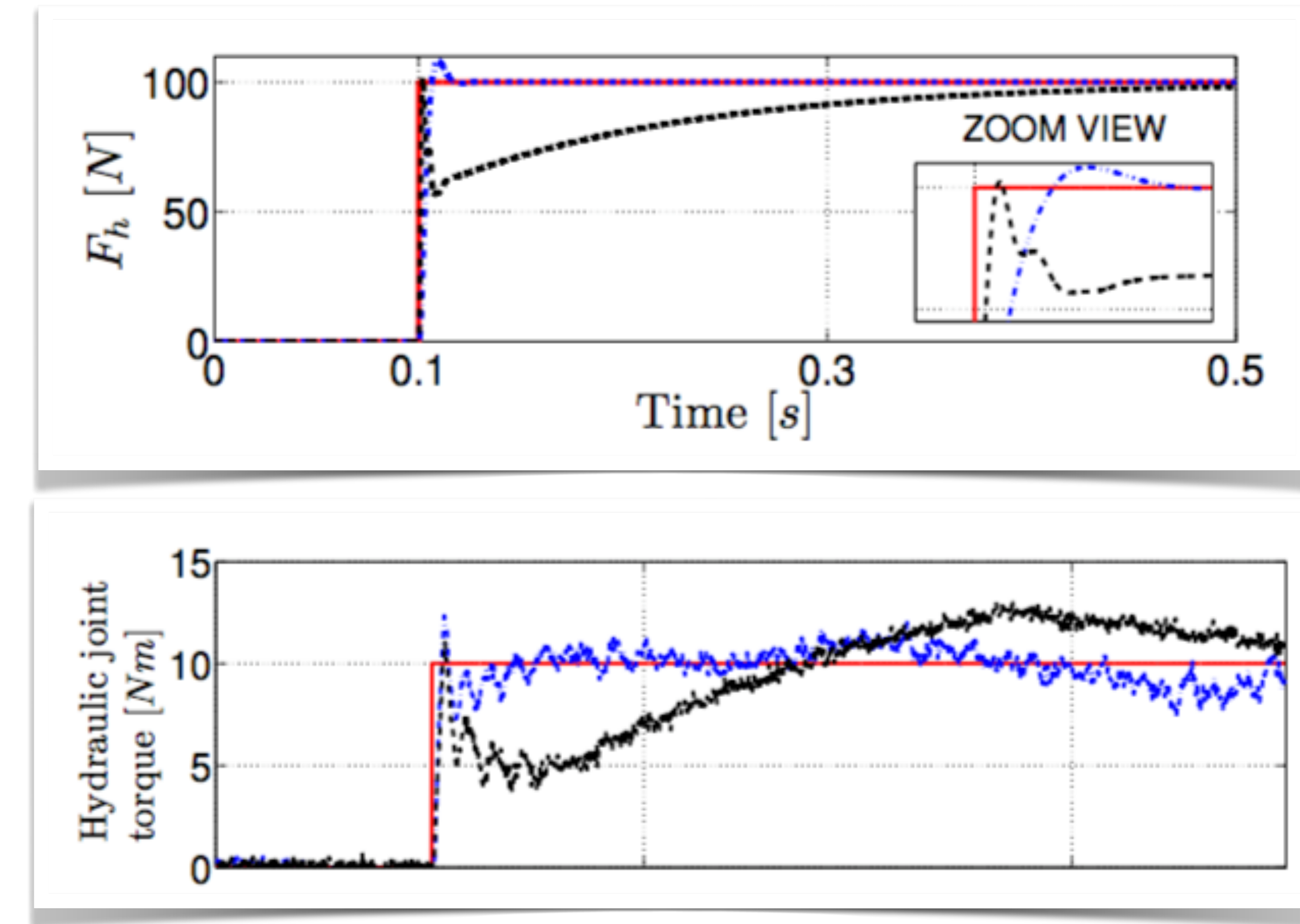
Boaventura, T., et al. On the role of load motion compensation in high-performance force control. IROS, 2012

Compensação de velocidade baseada em modelo

Revisão

Estabilidade

Conclusão

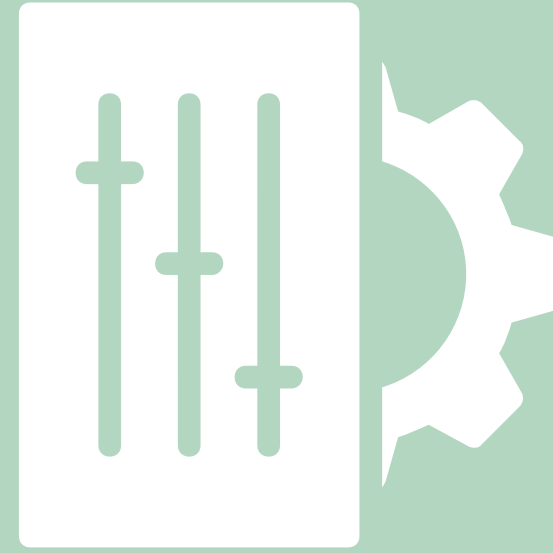


Boaventura, T., et al. On the role of load motion compensation in high-performance force control. IROS, 2012

Conteúdo

Revisão

Conclusão



- Estabilidade da interação
- Passividade
- Z-width

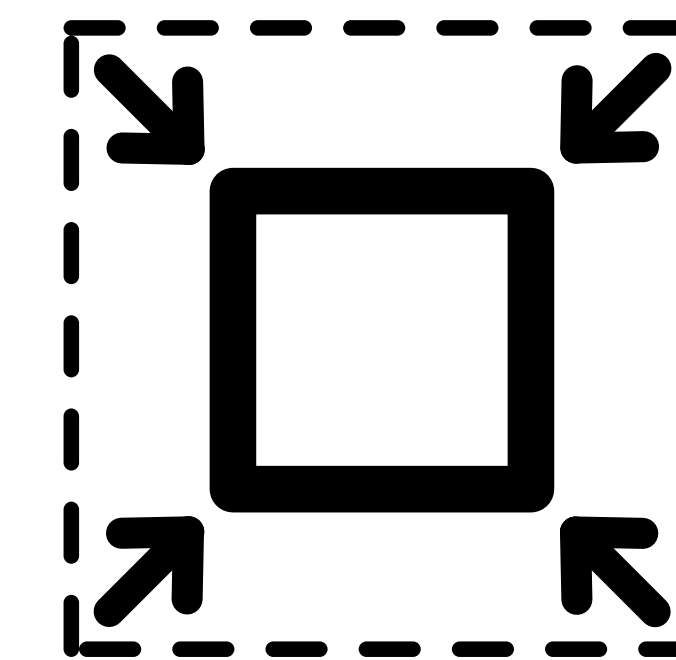
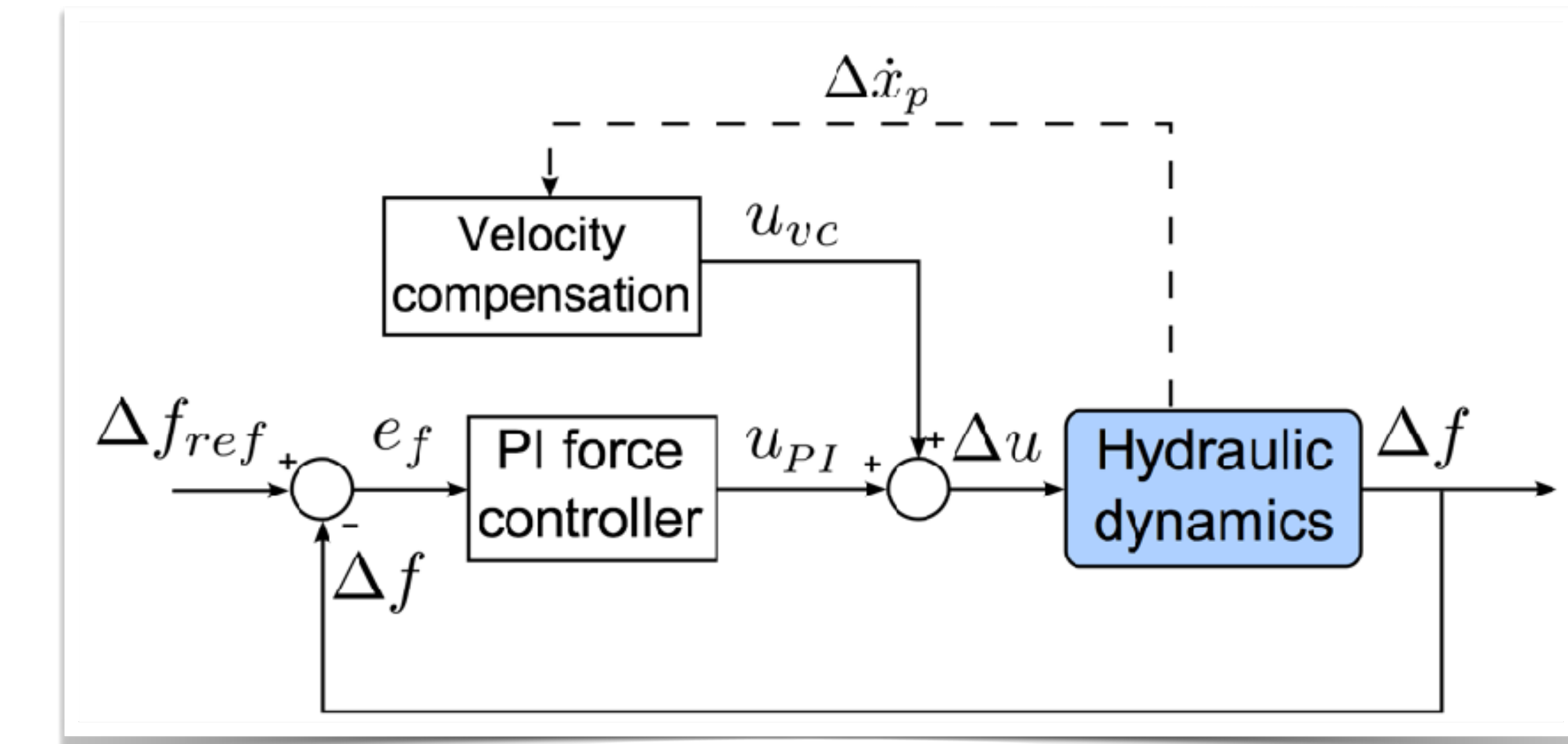
Estabilidade

Realimentação de força

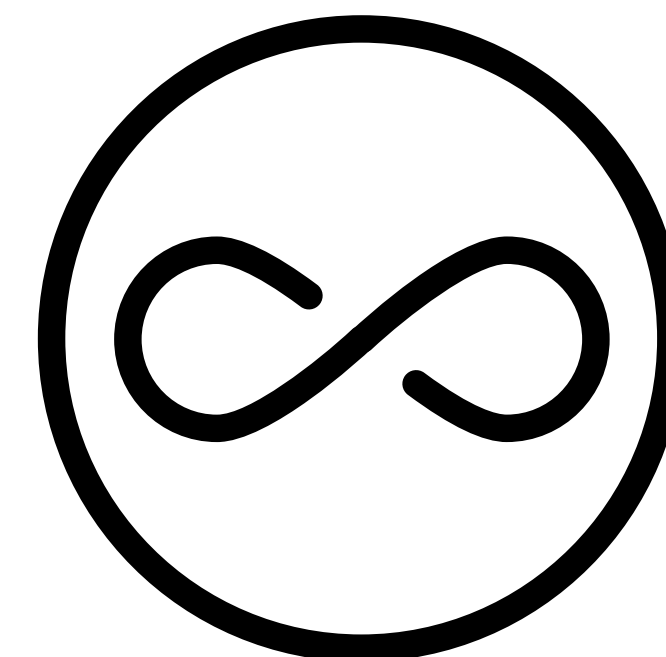
Revisão

Estabilidade

Conclusão



Reducir inércia aparente



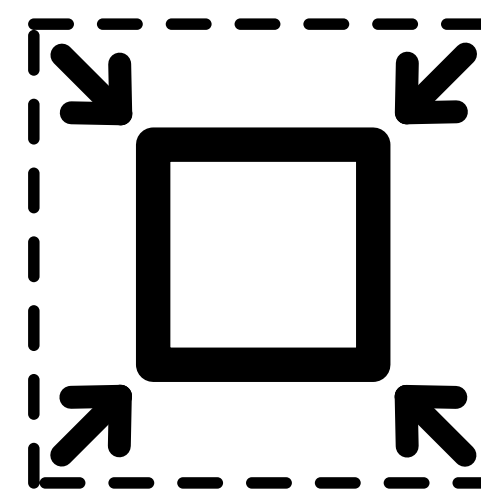
Problemas de estabilidade

Realimentação de força

Revisão

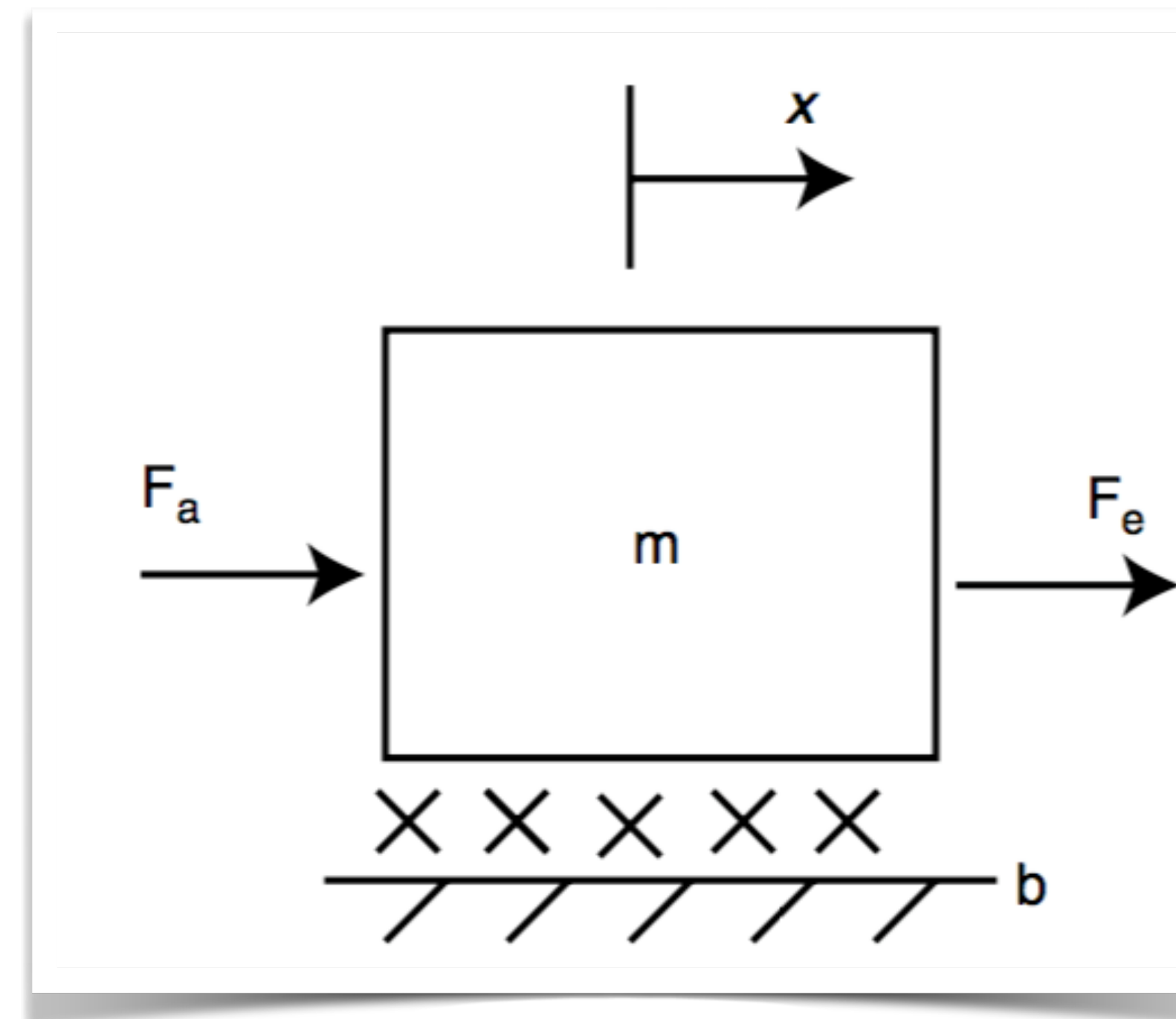
Estabilidade

Conclusão



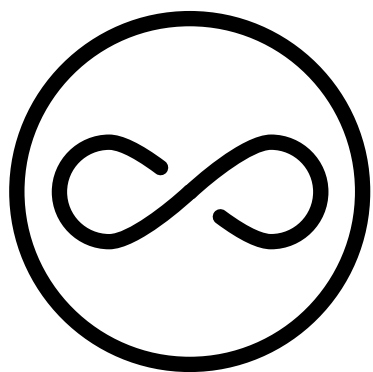
Reducir inércia
aparente

$$(ms^2 + bs)X = F_a + F_e$$

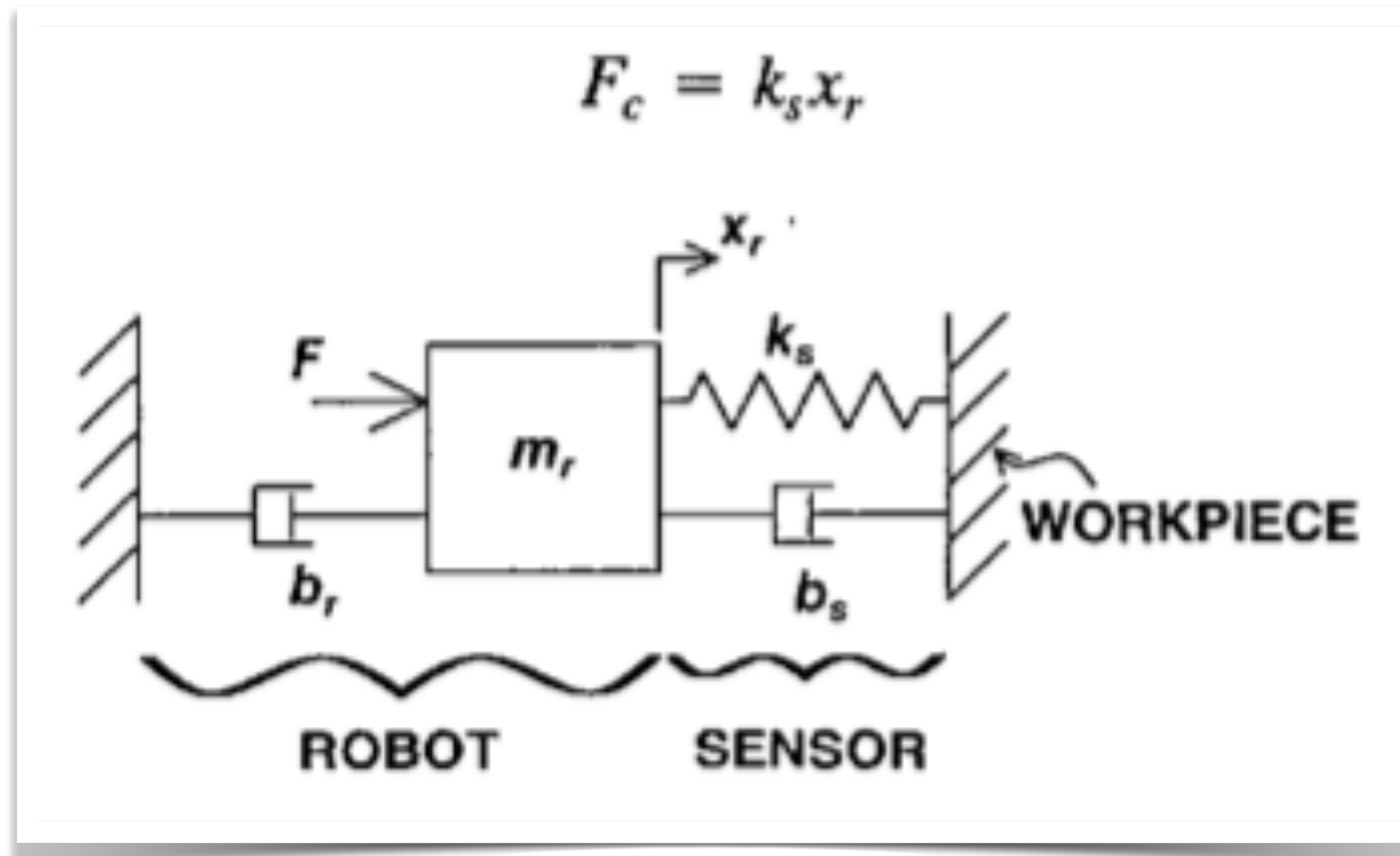


Realimentação de força

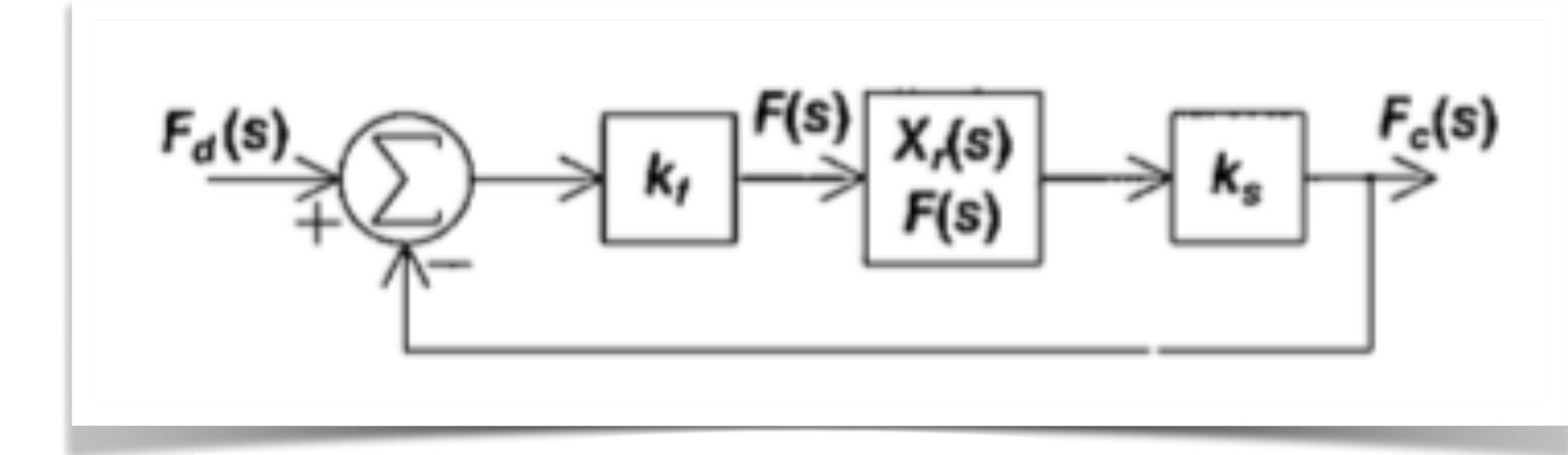
Revisão



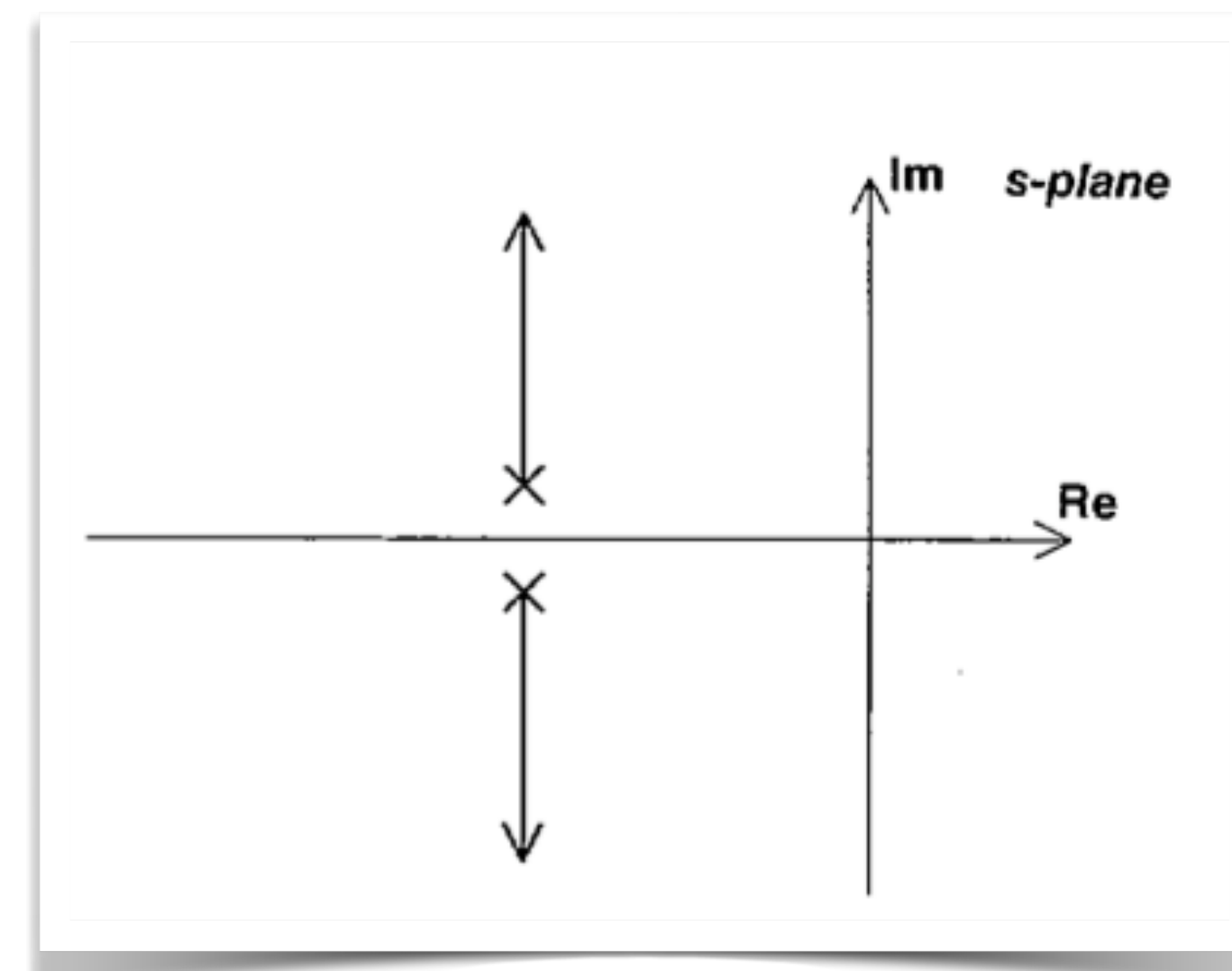
Problemas de estabilidade



Eppinger & Seering, "Introduction to dynamic models for robot force control", 1987

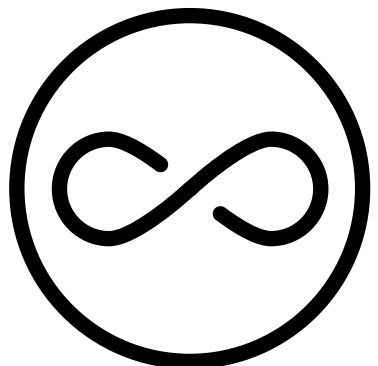


$$\frac{F_c(s)}{F_d(s)} = \frac{k_f k_s}{m_r s^2 + (b_r + b_s)s + k_s(1+k_f)}$$

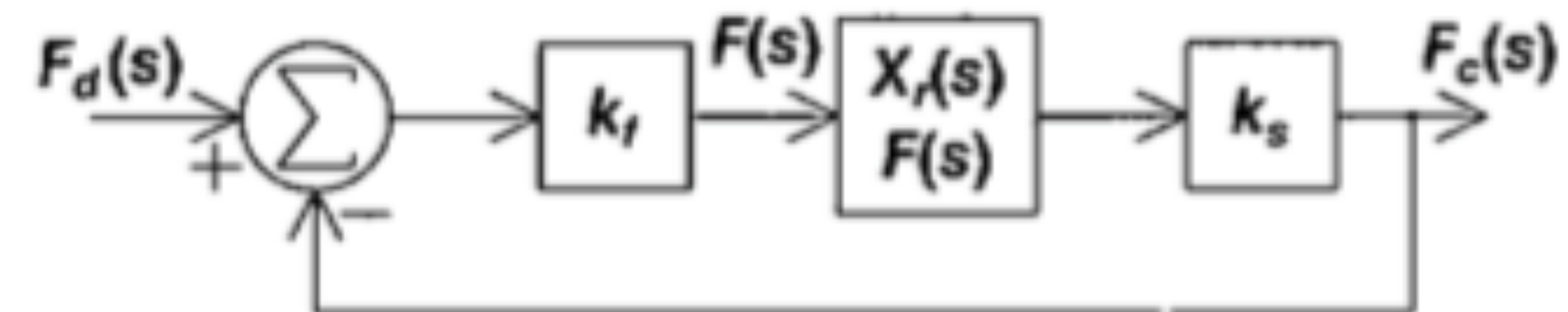


Realimentação de força

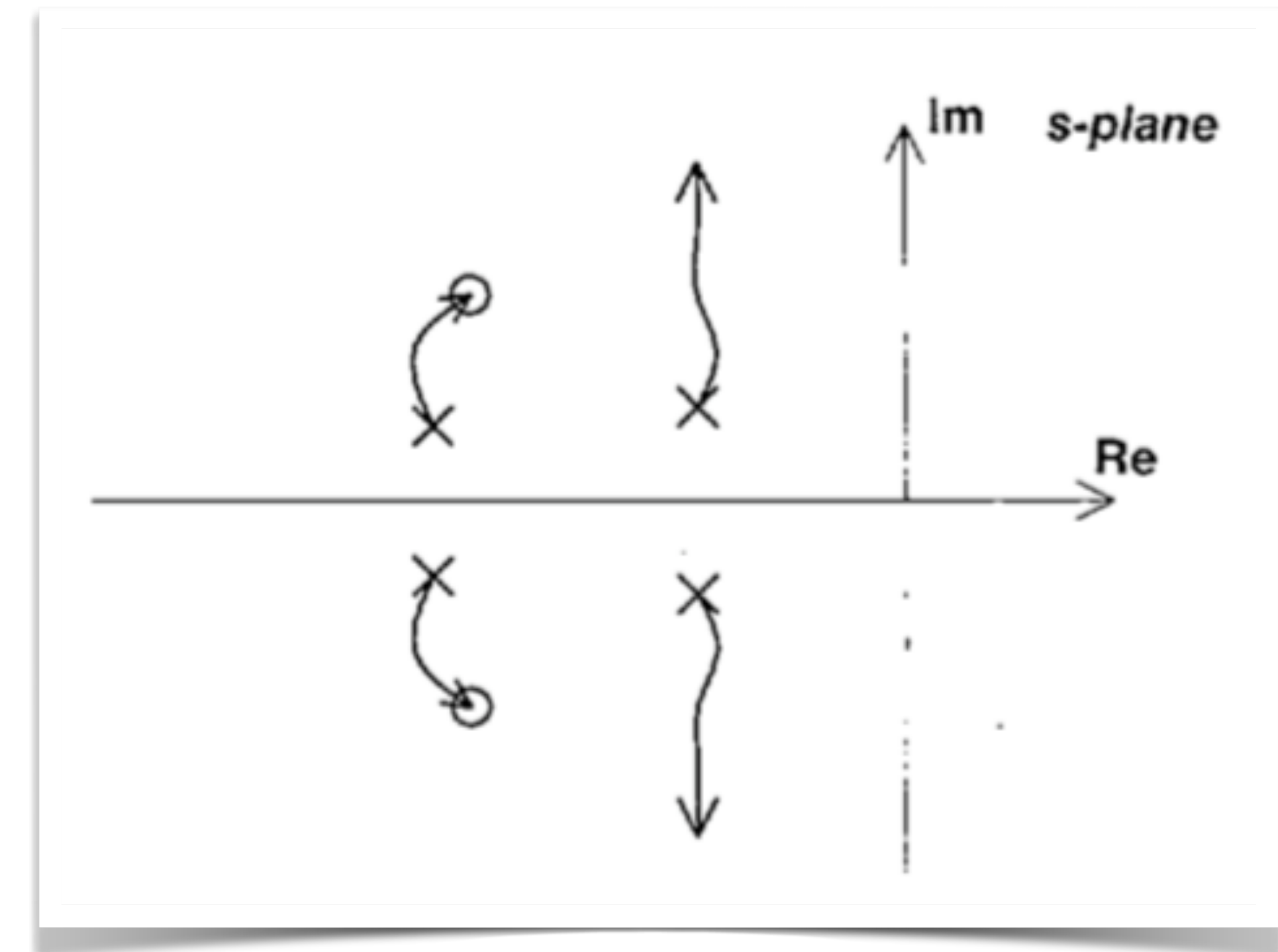
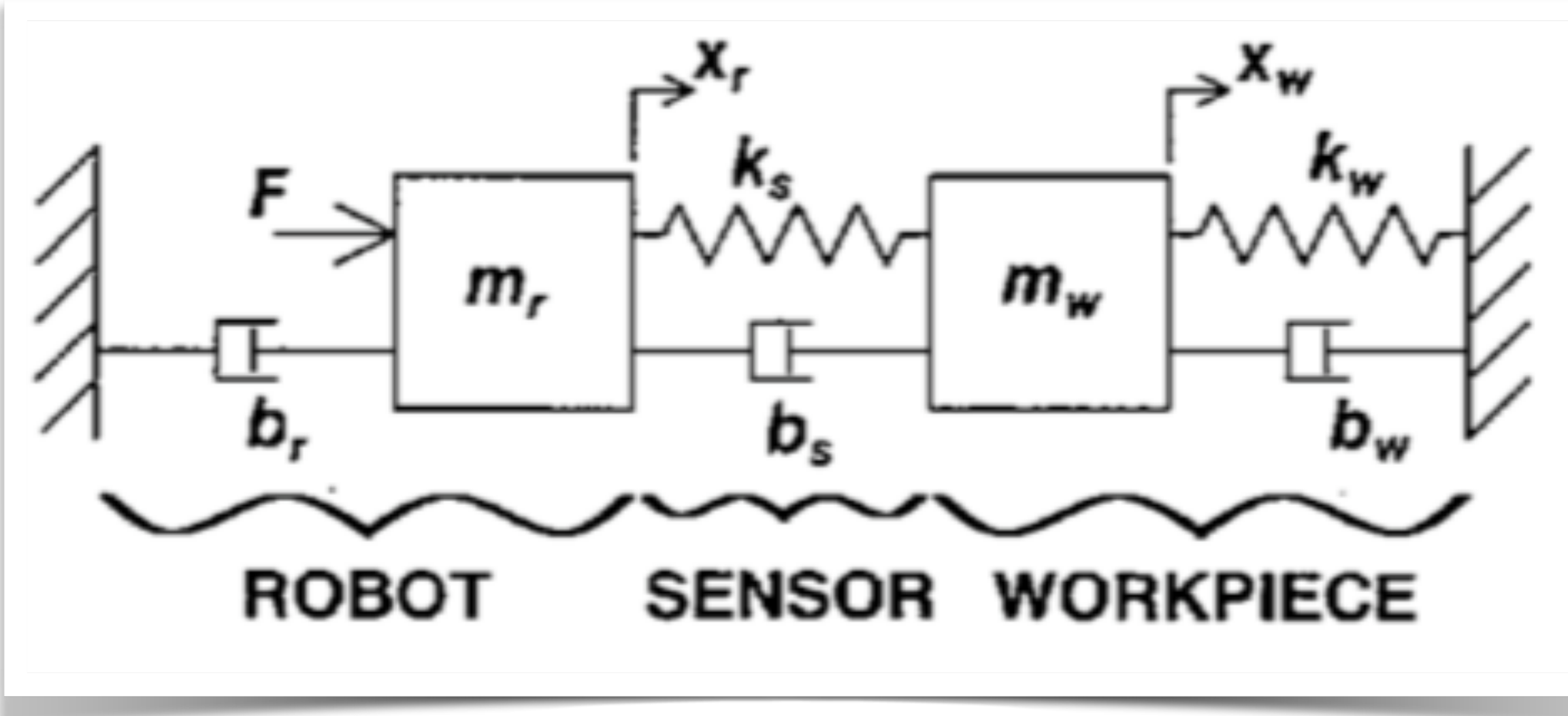
Revisão



Problemas de estabilidade



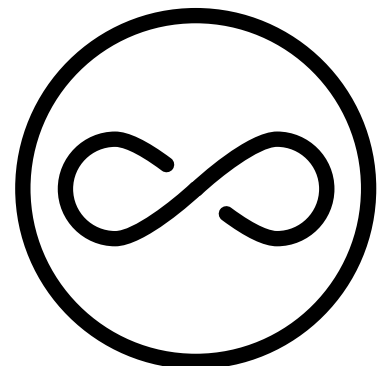
Estabilidade



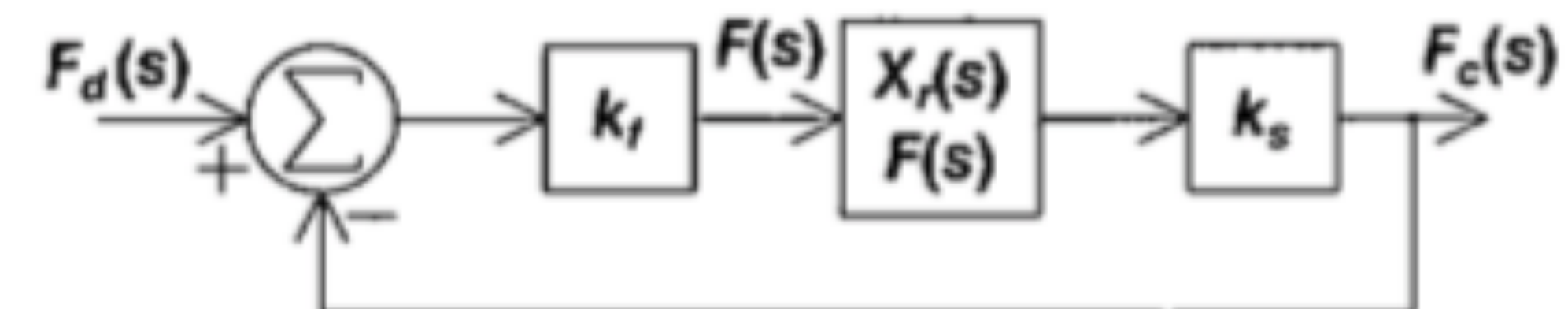
Eppinger & Seering, “Introduction to dynamic models for robot force control”, 1987

Realimentação de força

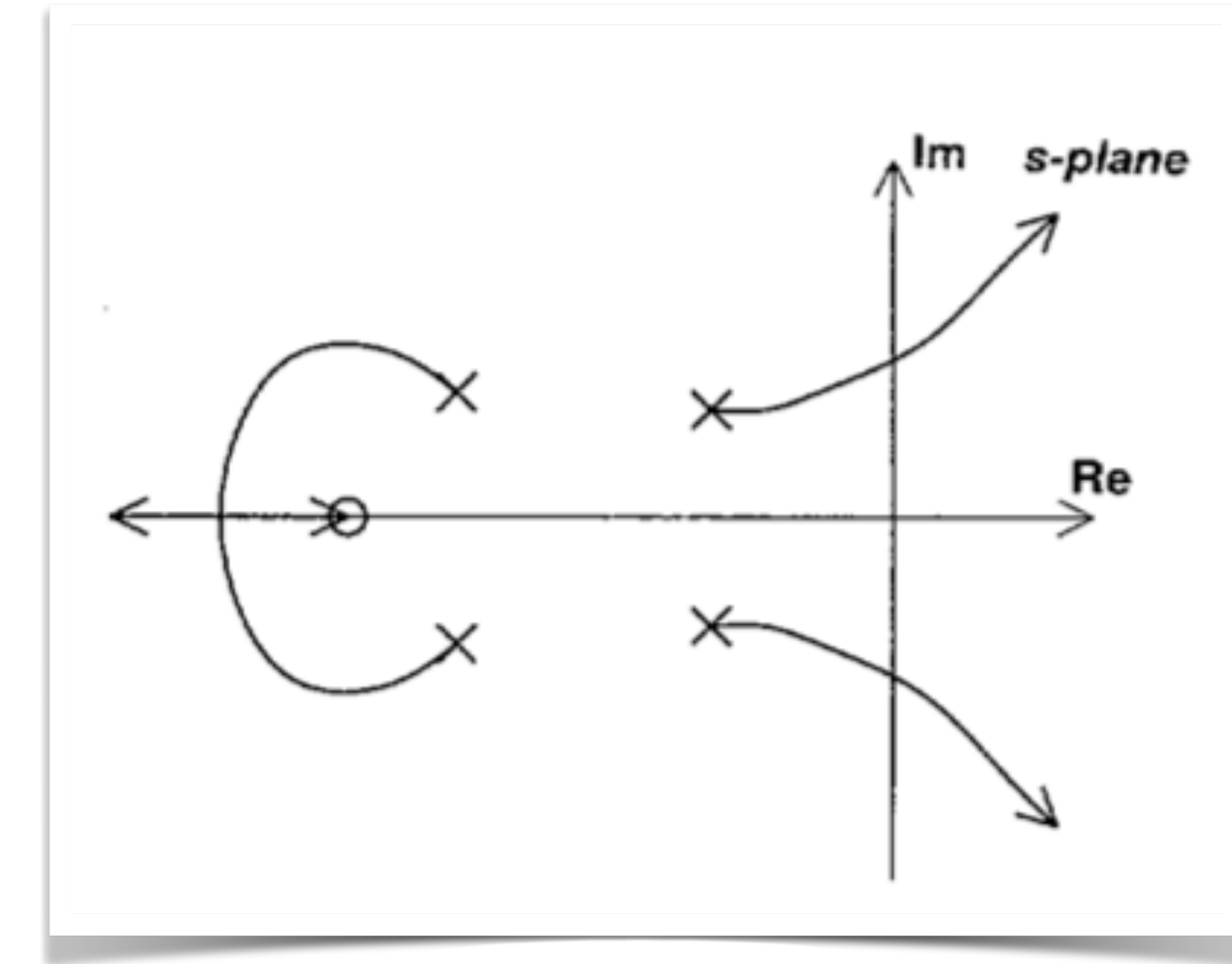
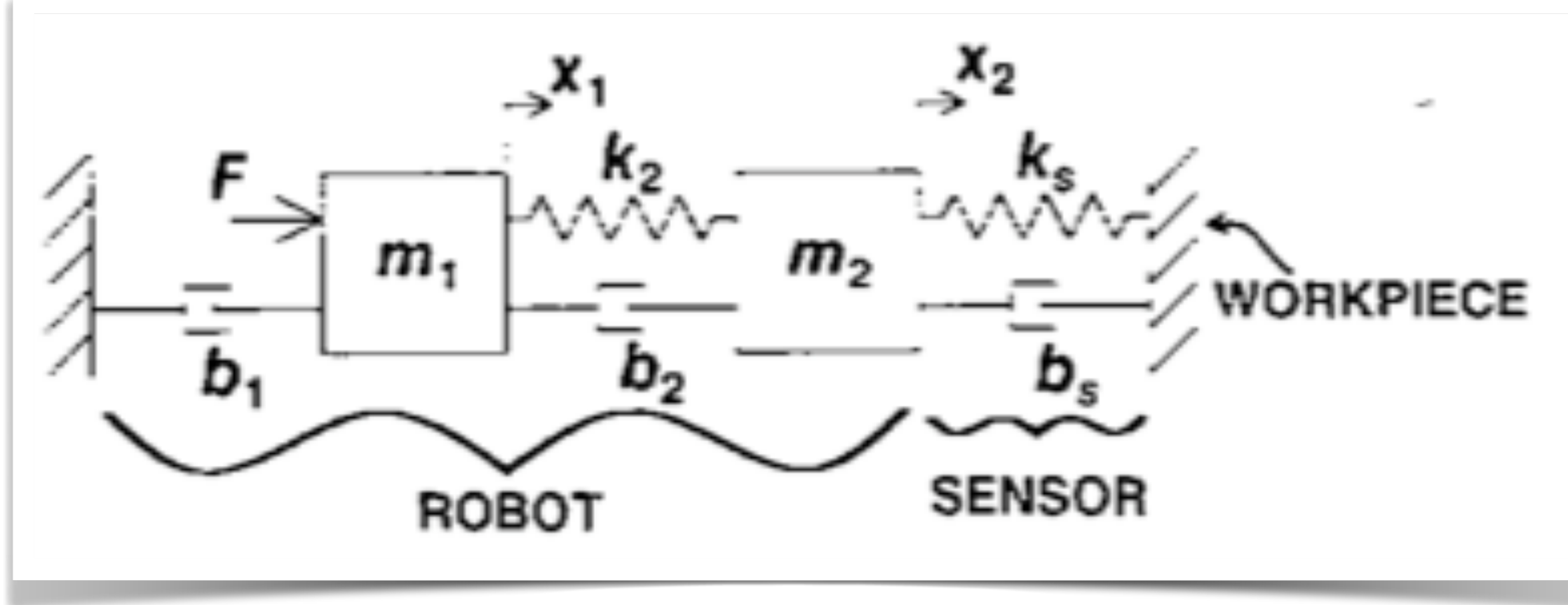
Revisão



Problemas de estabilidade



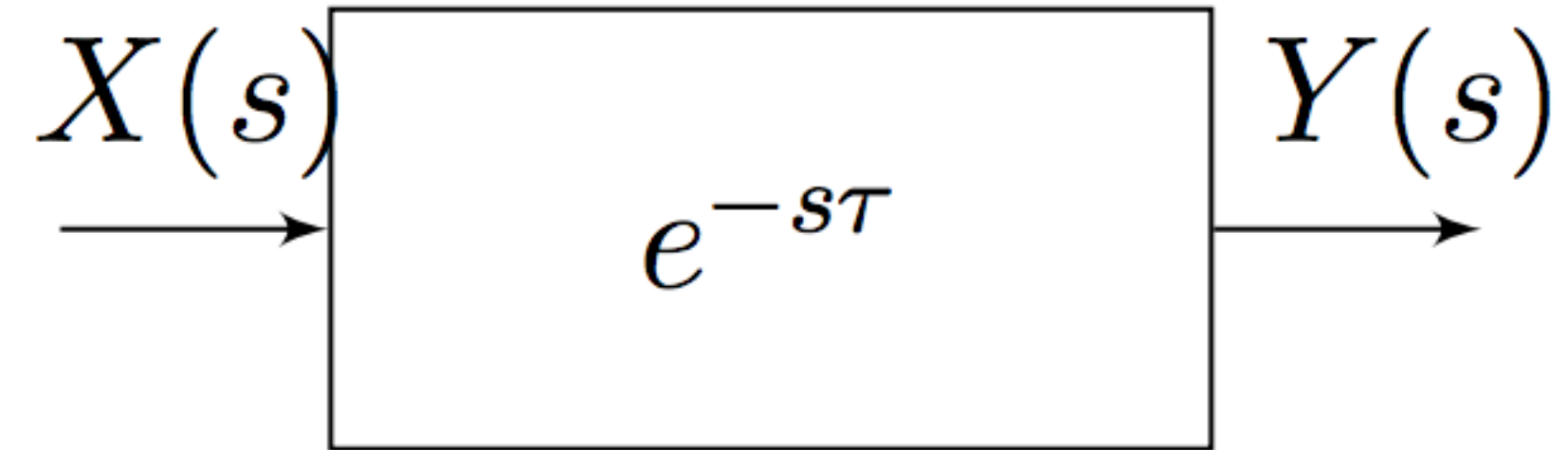
Estabilidade



Eppinger & Seering, "Introduction to dynamic models for robot force control", 1987

Atraso no sistema

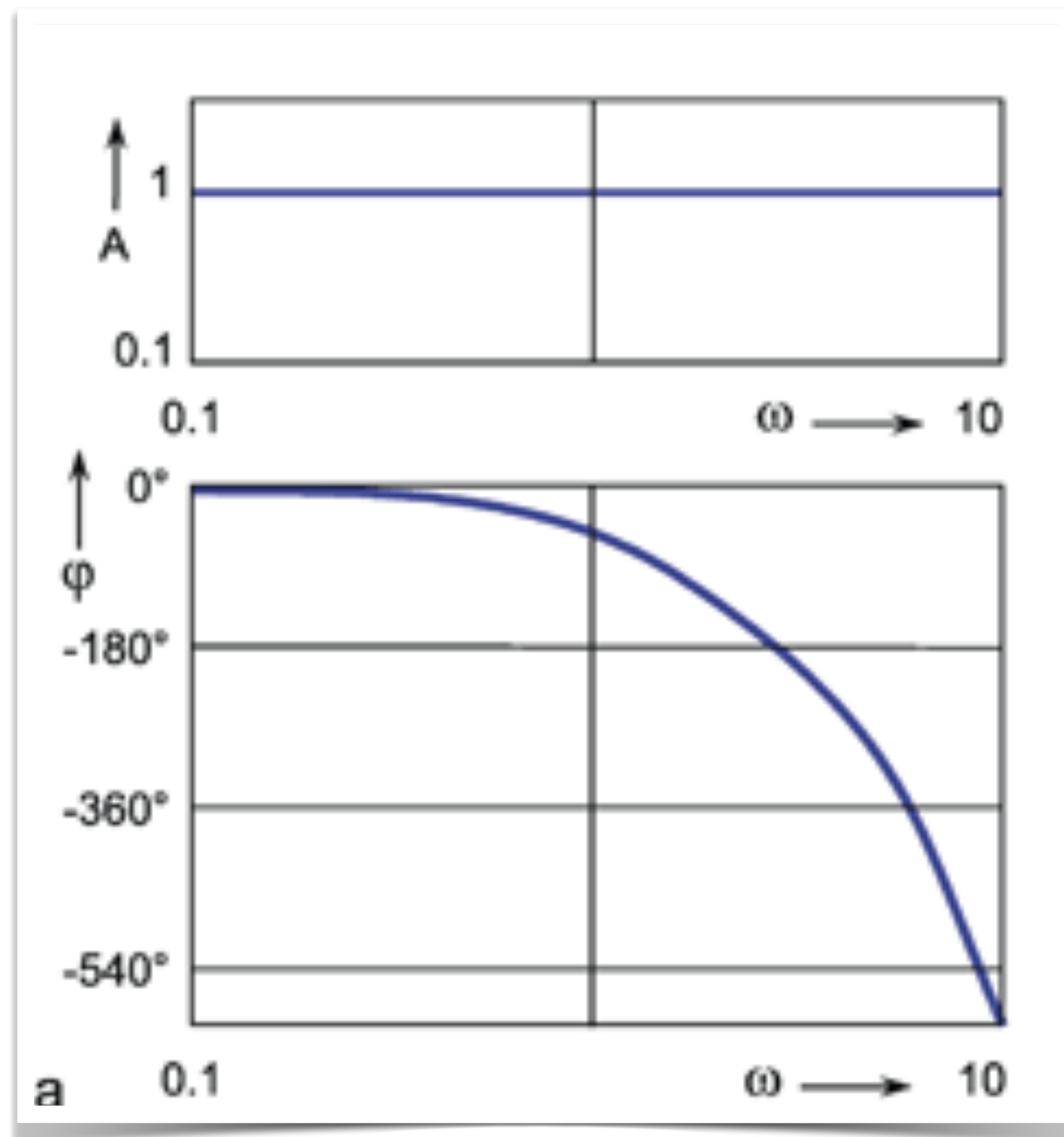
Revisão



$$|e^{-i\omega\tau}| = 1$$

$$\angle e^{-i\omega t} = \omega\tau$$

Estabilidade



Conclusão

Non-collocation

Revisão



Means that the actuator and sensor are not at the same physical location, but are separated by dynamic elements.



Colgate & Hogan, 1989

Eppinger & Seering, 1987

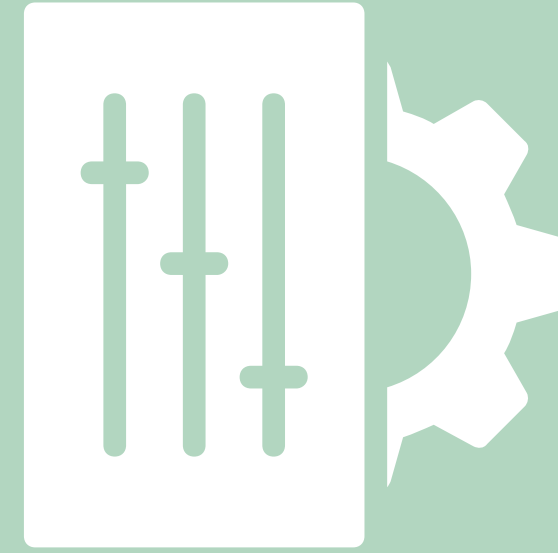
Estabilidade

Conclusão

Conteúdo

Revisão

Conclusão



- Estabilidade da interação
- Passividade
- Z-width

Estabilidade

Passividade

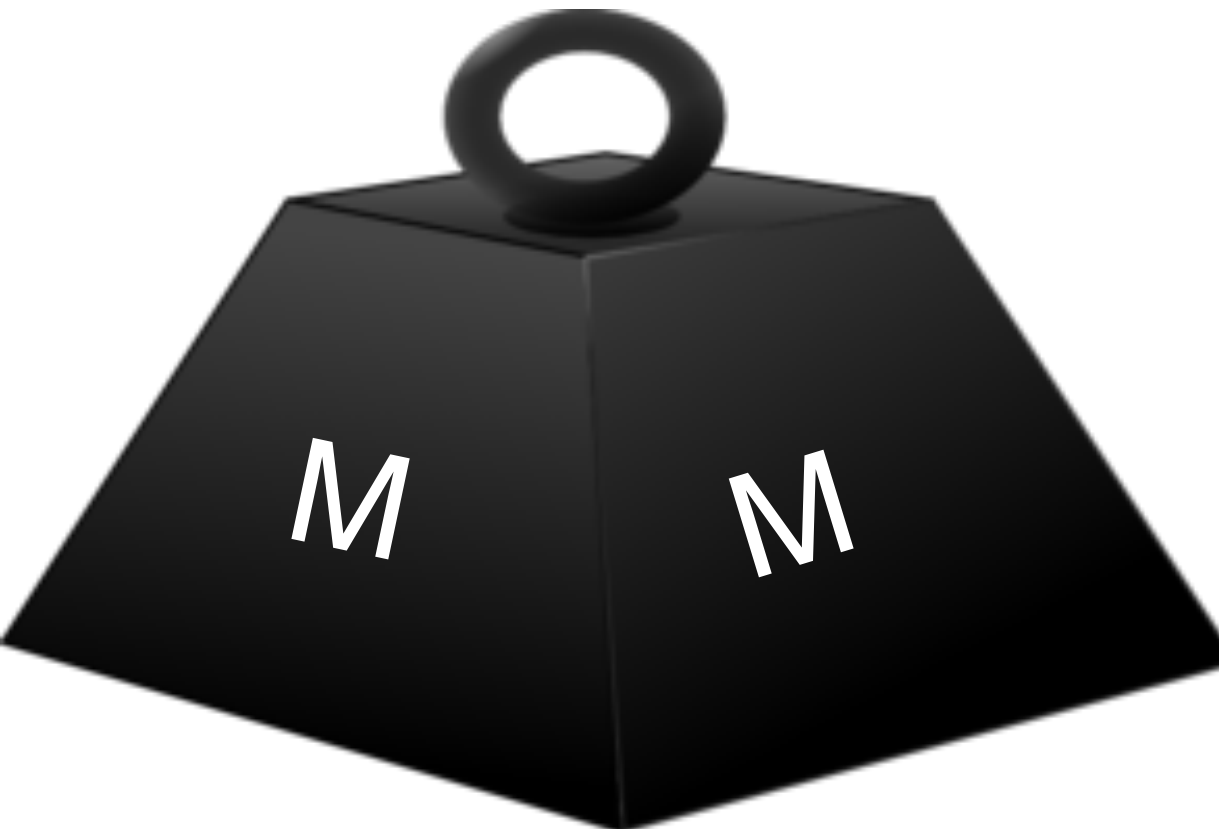
Revisão

Estabilidade

Conclusão

Reafirmação do princípio de conservação de energia

Um sistema passivo não pode armazenar mais energia do que a que foi fornecida exteriormente



Passividade

Revisão

Estabilidade

Conclusão

$$\Sigma : \begin{cases} \dot{x} = f(x) + g(x)u \\ y = h(x) \end{cases}$$

$$\underbrace{H[x(t)] - H[x(0)]}_{\text{stored energy}} \leq \underbrace{\int_0^t u^\top(s)h(x(s))ds}_{\text{supplied energy}}$$

Passividade de sistemas lineares

Revisão

Estabilidade

Conclusão

$$y(s) = h(s)u(s)$$

Teorema de Parseval:

$$\int_0^T y(t)u(t)dt = \int_{-\infty}^{\infty} y(t)u_T(t)dt = \frac{1}{2\pi} \int_{-\infty}^{\infty} y(j\omega)u_T^*(j\omega)d\omega$$

Re[h(j\omega)] \geq 0 for all \omega

Lozano, Rogelio, et al. Dissipative systems analysis and control: theory and applications. Springer Science & Business Media, 2013.

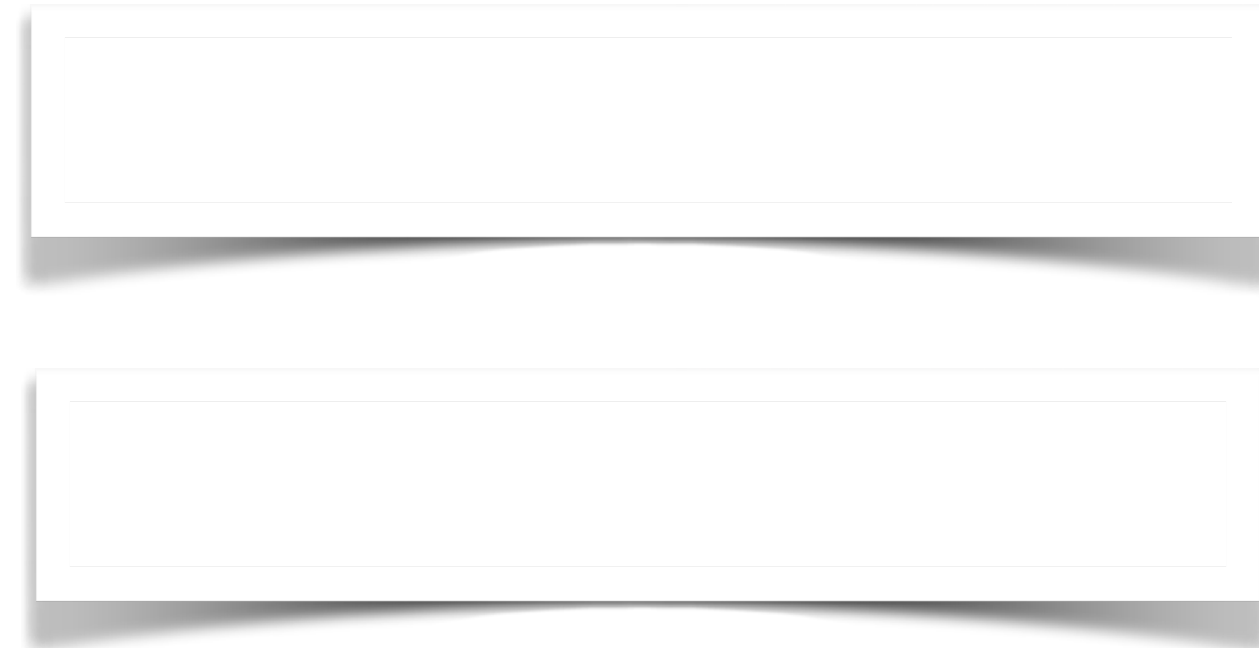
Passividade de sistemas lineares

Revisão

Estabilidade

Conclusão

$$y(s) = h(s)u(s)$$



Condições para passividade:

1. $Z(s)$ é estável
2. $\text{Re}[Z(i\omega)] \geq 0 \quad \forall \omega \in \mathbb{R}^+$

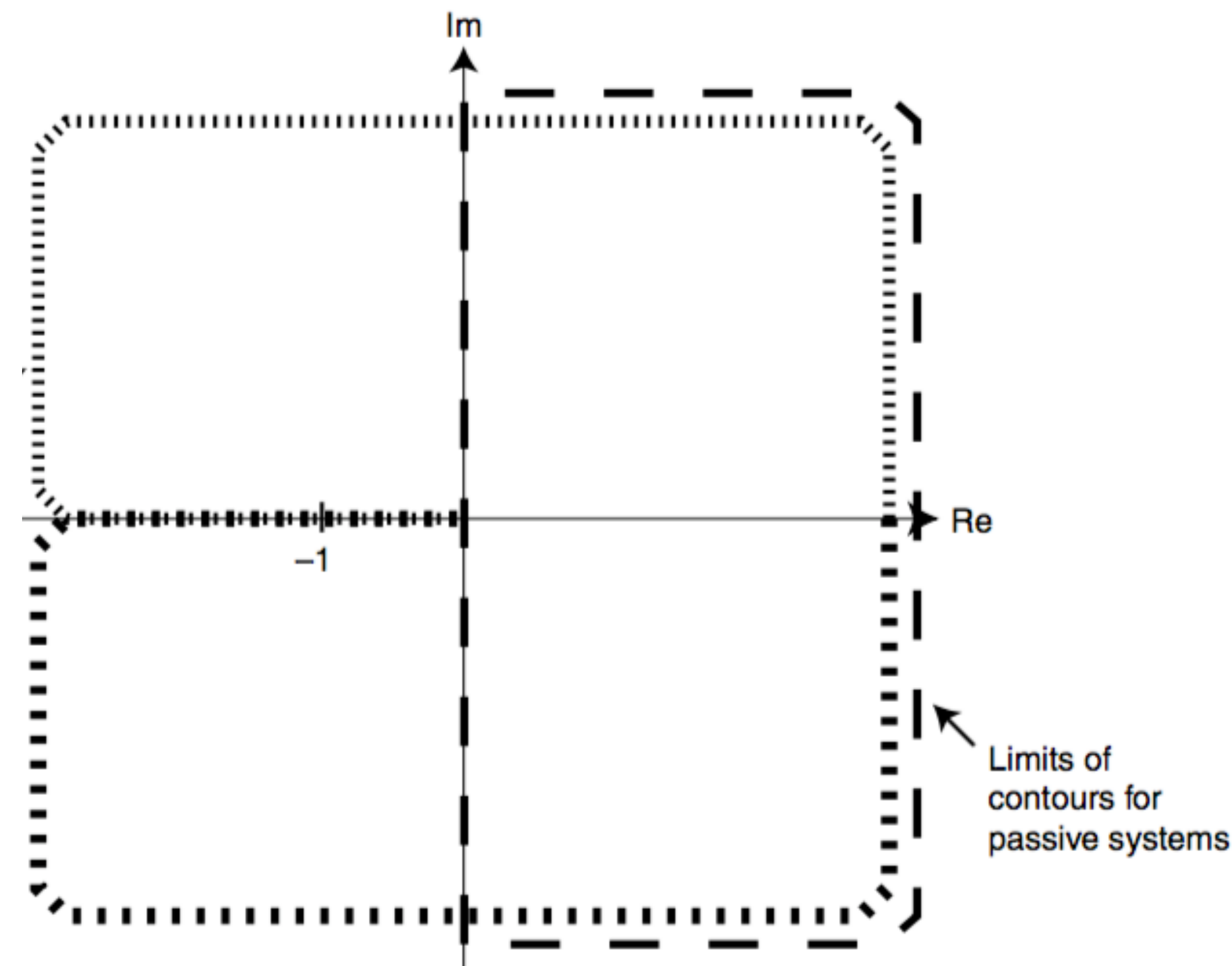
Passividade de sistemas lineares

Revisão

Estabilidade

Conclusão

2. $\operatorname{Re}[Z(i\omega)] \geq 0 \quad \forall \omega \in \mathbb{R}^+$



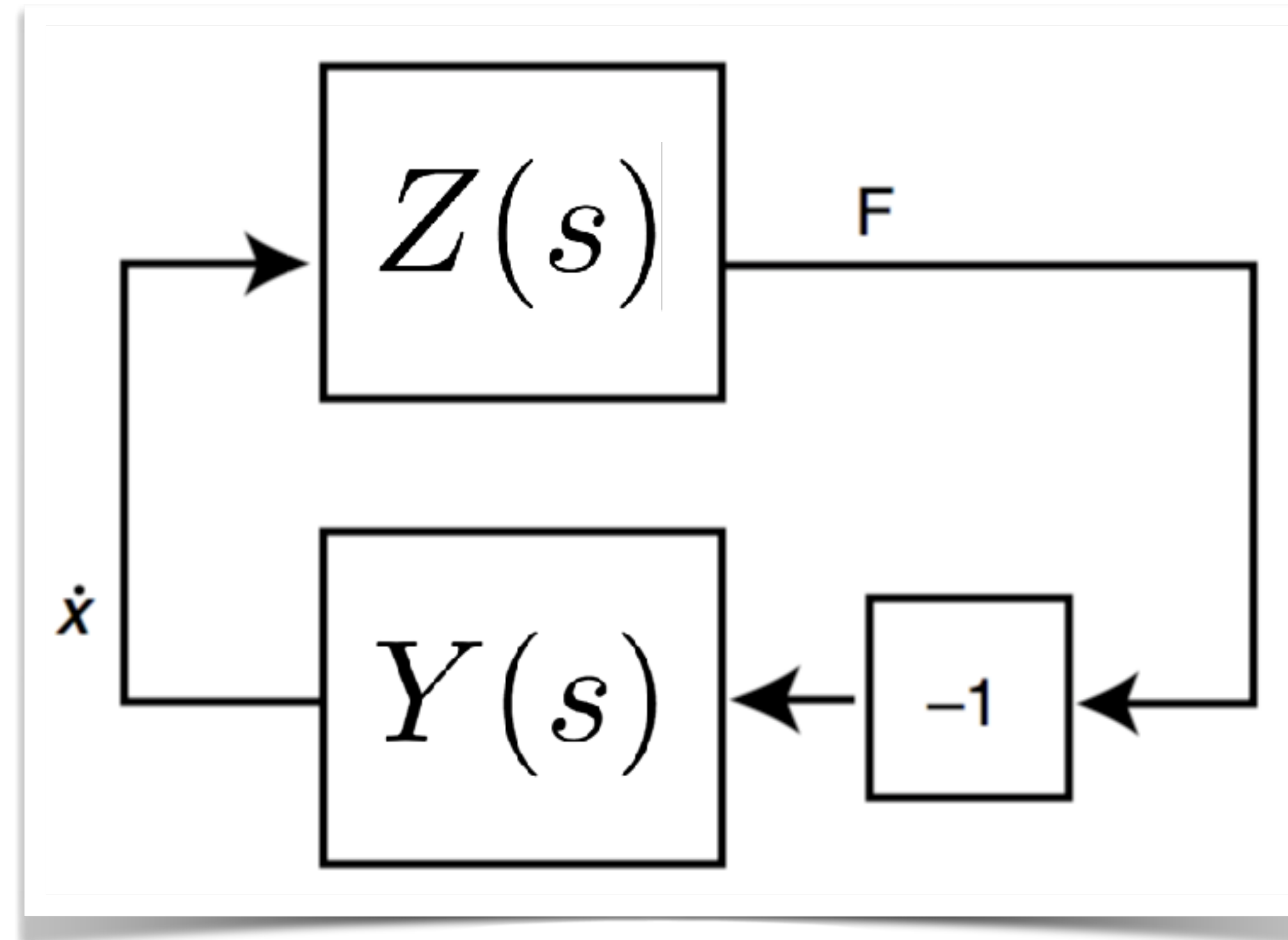
$$|\angle h(j\omega)| \leq 90^\circ$$

Estabilidade acoplada via passividade

Revisão

Estabilidade

Conclusão

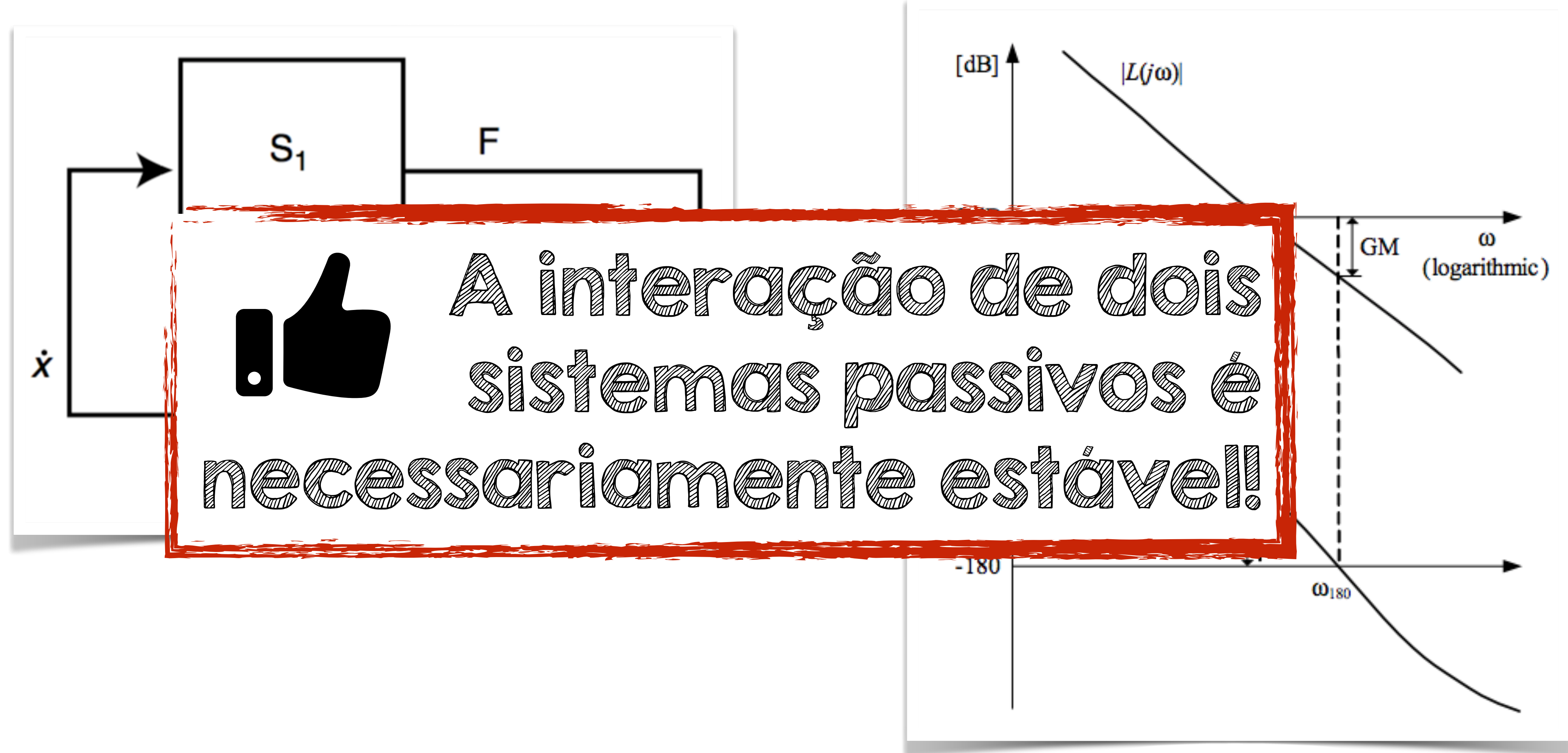


Estabilidade acoplada via passividade

Revisão

Estabilidade

Conclusão

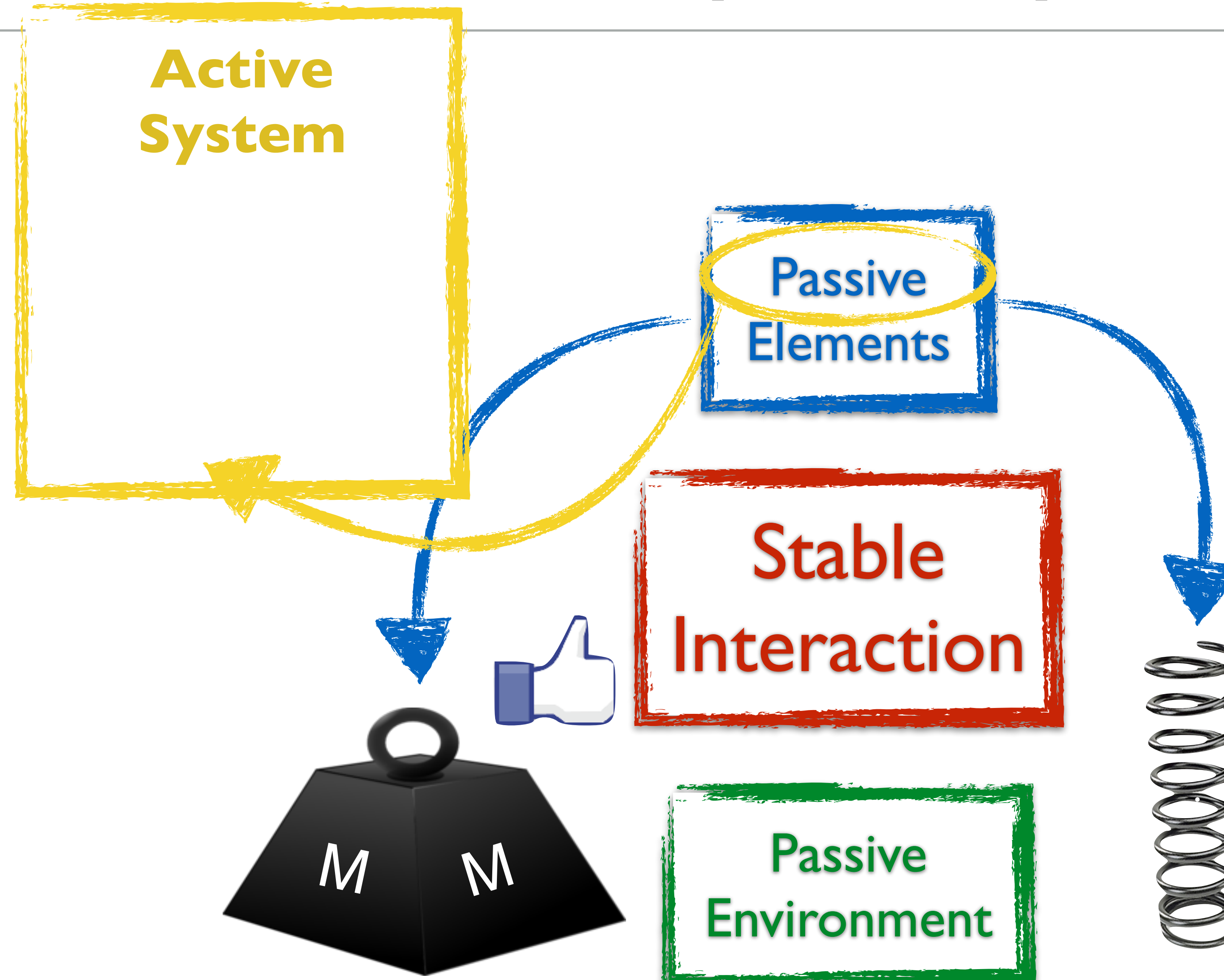


Estabilidade acoplada via passividade

Revisão

Estabilidade

Conclusão

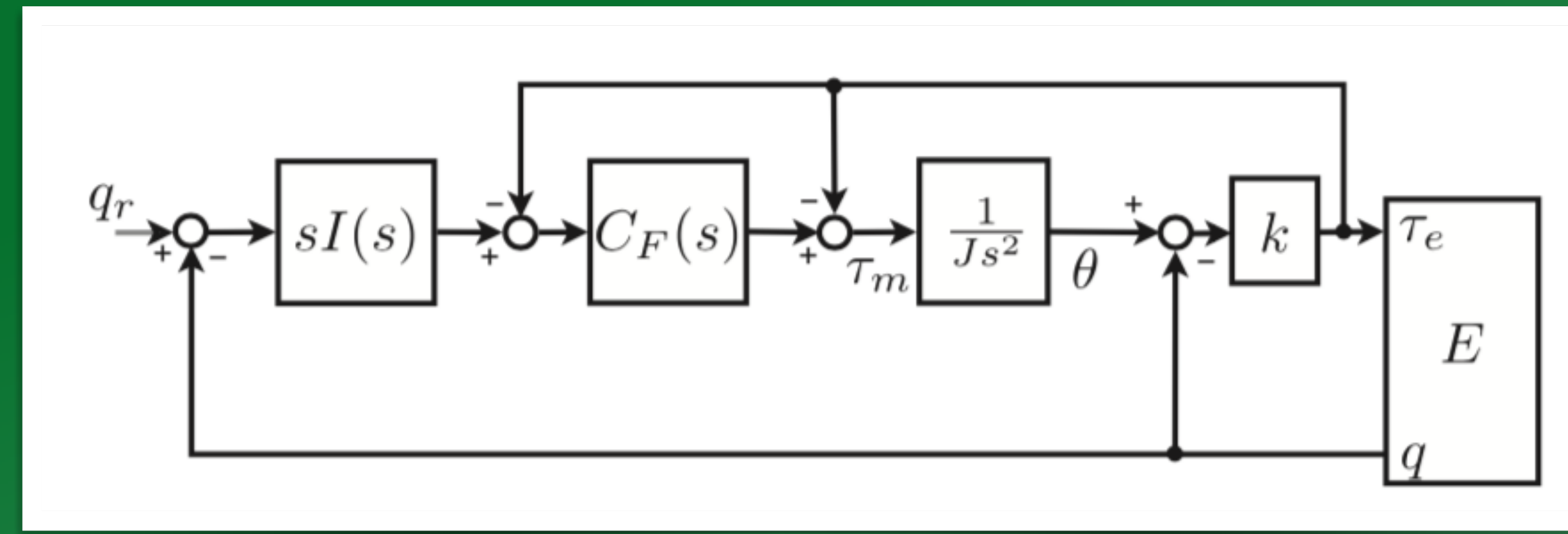


Estabilidade acoplada via passividade

Revisão

Estabilidade

Conclusão



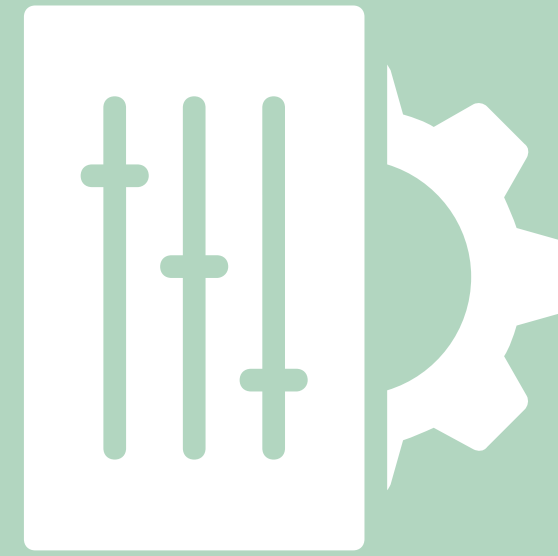
$$C_F(s) = P + sD$$

$$-\tau_e = \frac{C_F(s)I(s) + Js}{C_F(s) + \frac{J}{k}s^2 + 1} \dot{q}$$

Conteúdo

Revisão

Conclusão



- Estabilidade da interação
- Passividade
- Z-width

Estabilidade

Z-Width

Revisão

Estabilidade

Conclusão

Range of **stiffness** and
damping that keeps
the system **passive**

[Colgate, J. E. and Brown, J. M. (1994). "Factors affecting the z-width of a haptic display"]

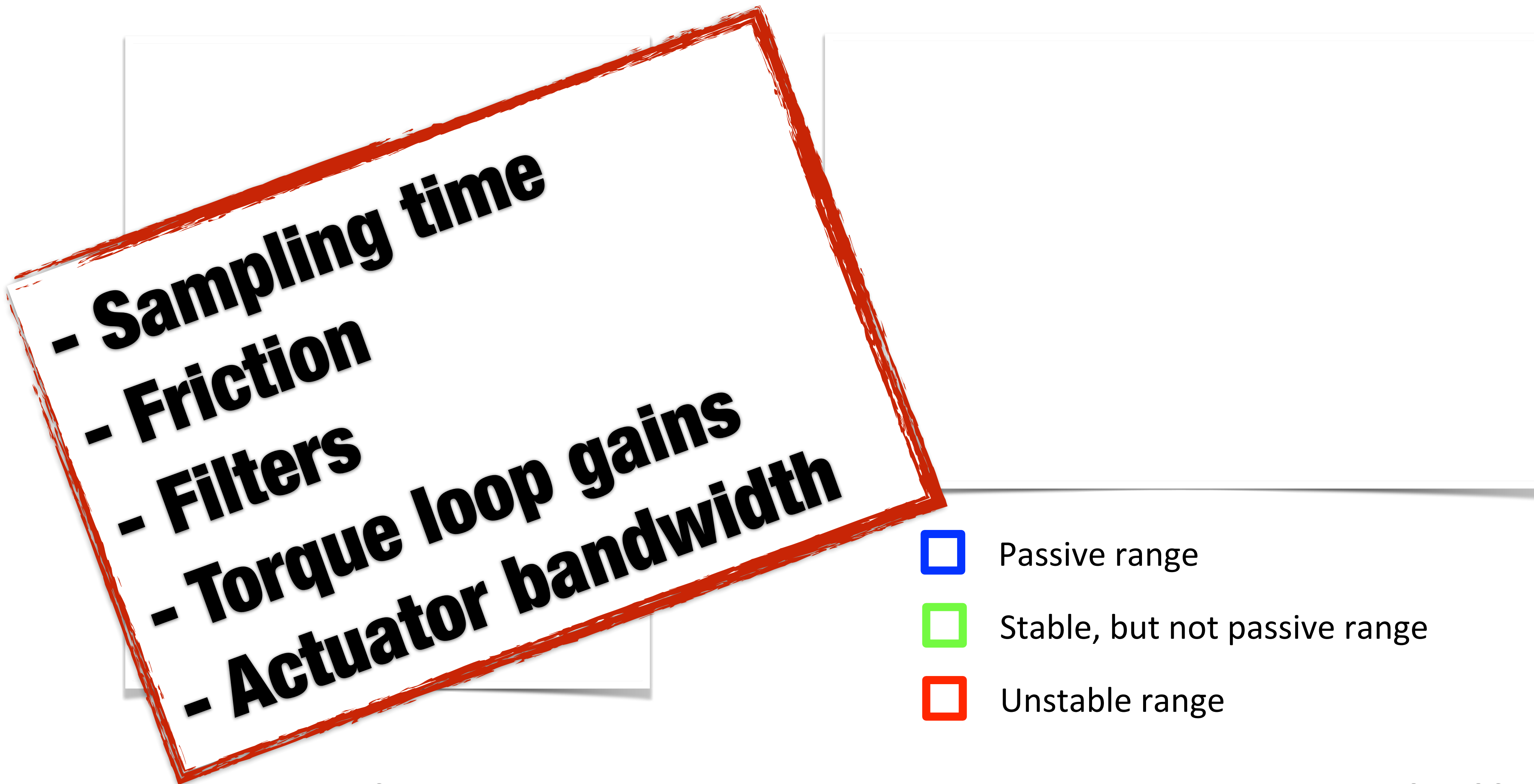


Z-Width

Revisão

Estabilidade

Conclusão



Boaventura, T., et al. Stability and performance of the compliance controller of the quadruped robot HyQ. IROS, 2013

Z-Width

Revisão

Estabilidade

Conclusão

$$\frac{\Delta f(s)}{\Delta u(s)} = \left(\frac{1}{\frac{1}{\omega_v^2} s^2 + \frac{2D_v}{\omega_v} s + 1} \right) \left(\frac{K_{u_v}(M_l s + B_l)}{(s - K_{f_h})(M_l s + B_l + B) - K_{x_p}} \right)$$
$$\omega_v = 2\pi F_v$$

Boaver

The higher the actuator bandwidth, the larger the Z-width!

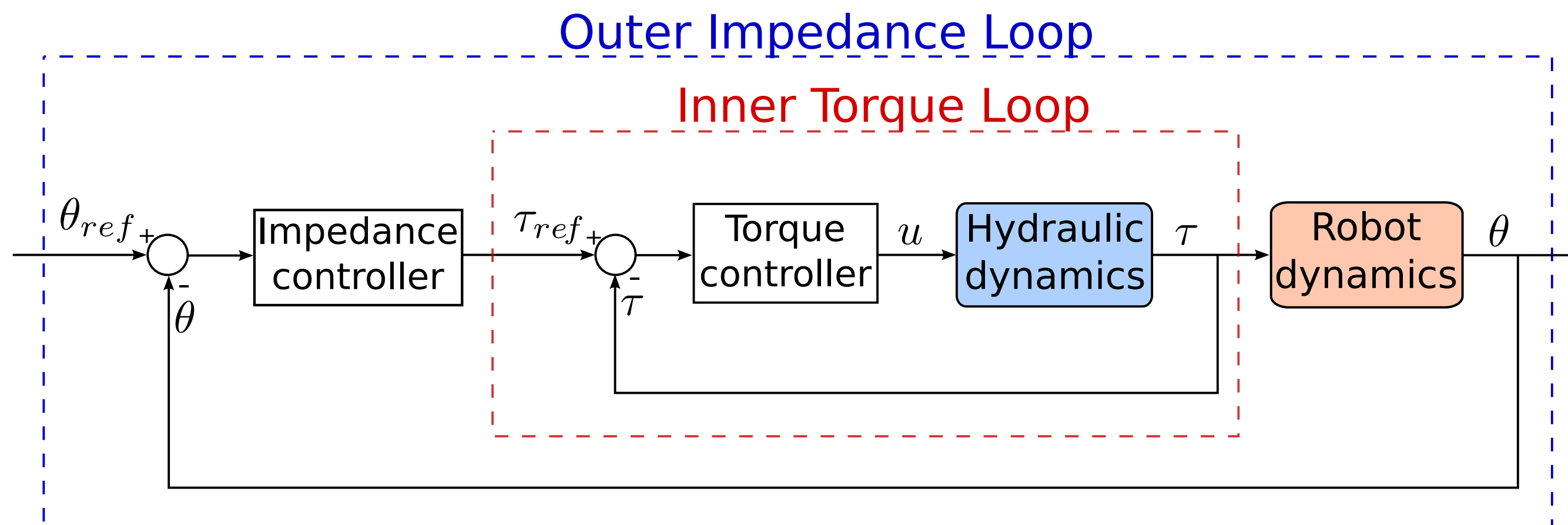
OS, 2013

Z-Width

Revisão

Estabilidade

Conclusão



$$C = K_{PI} \frac{0.03838(z - 0.9953)}{z - 1}$$

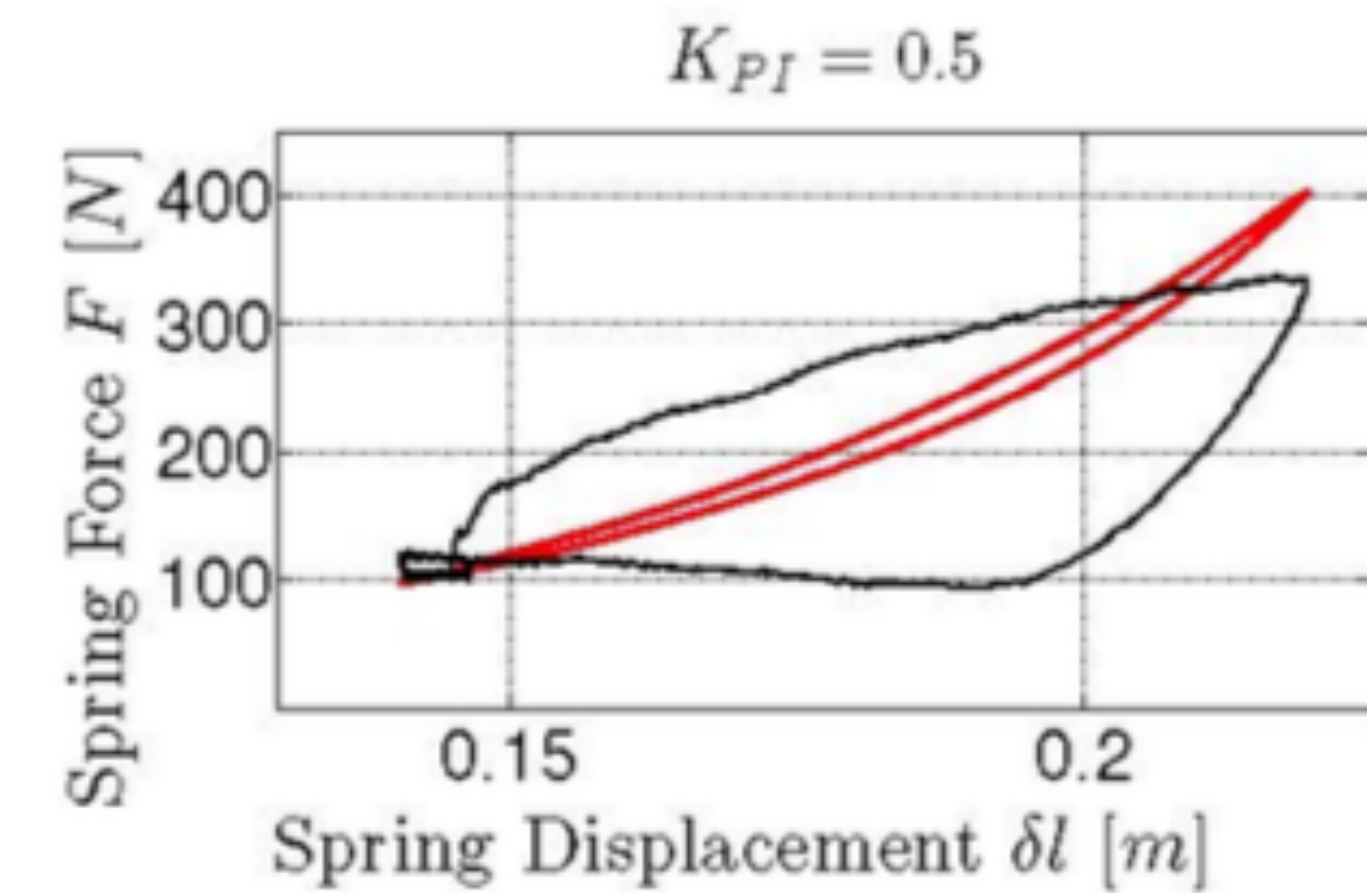
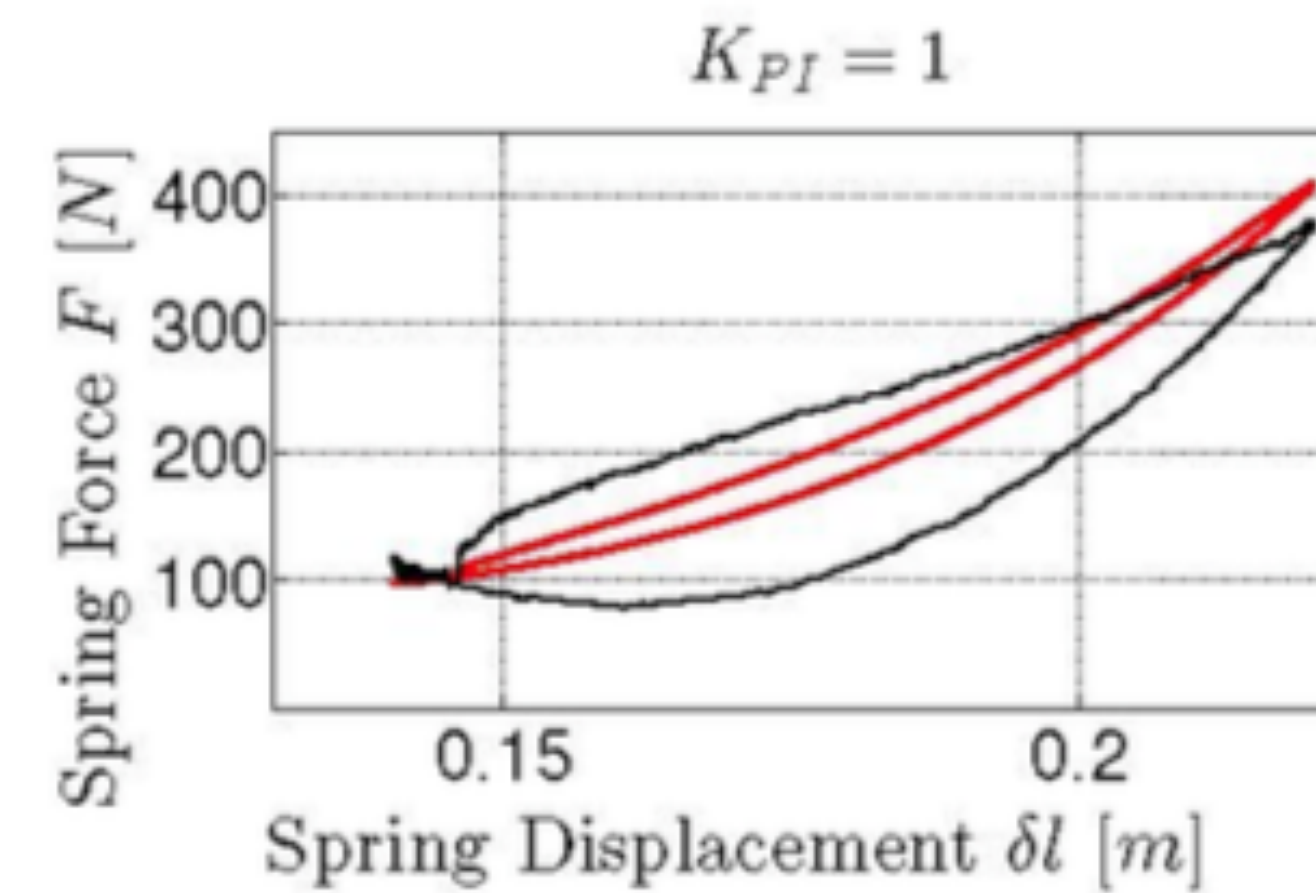
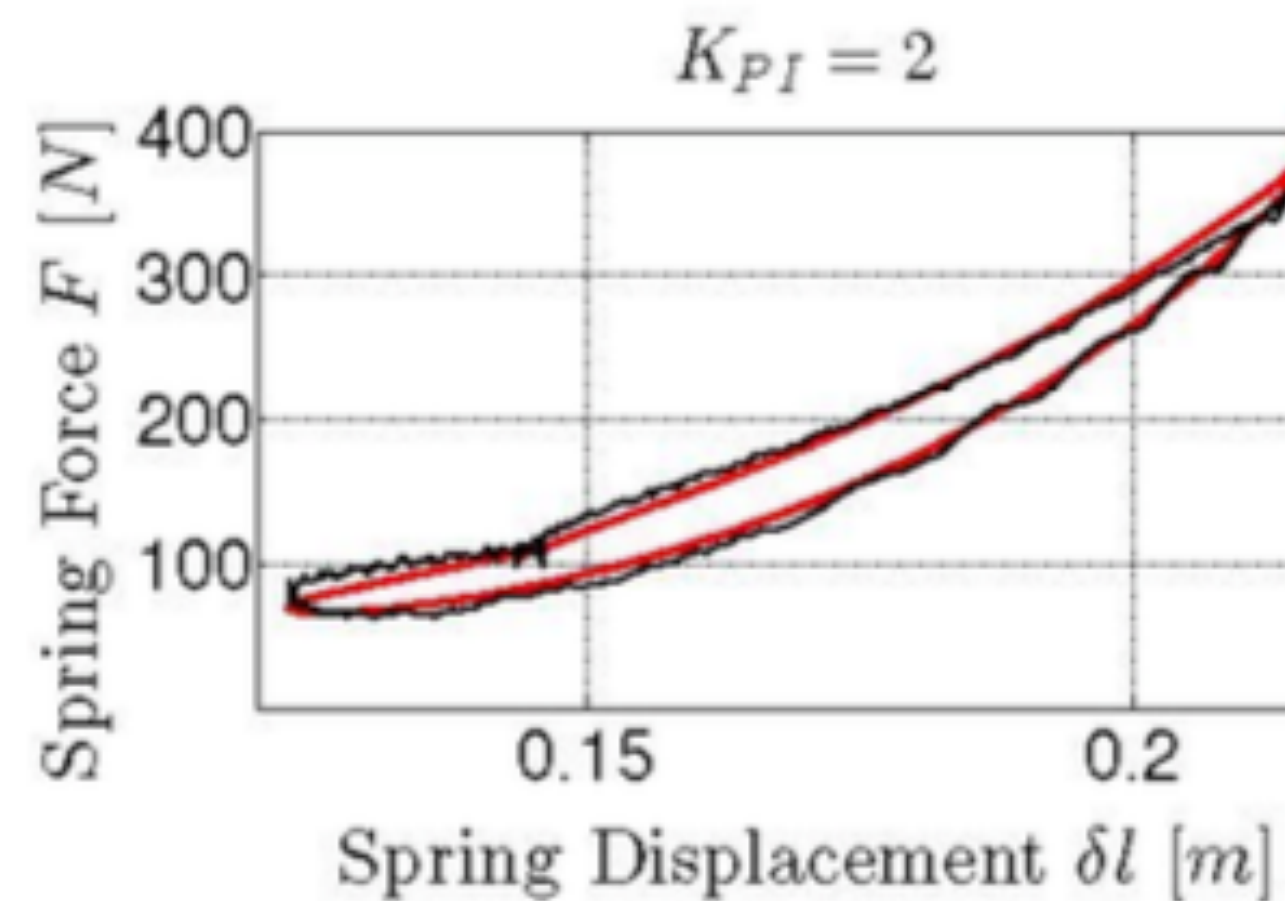
Boaventura, T., et al. Stability and performance of the compliance controller of the quadruped robot HyQ. IROS, 2013

Z-Width

Revisão

Estabilidade

Conclusão



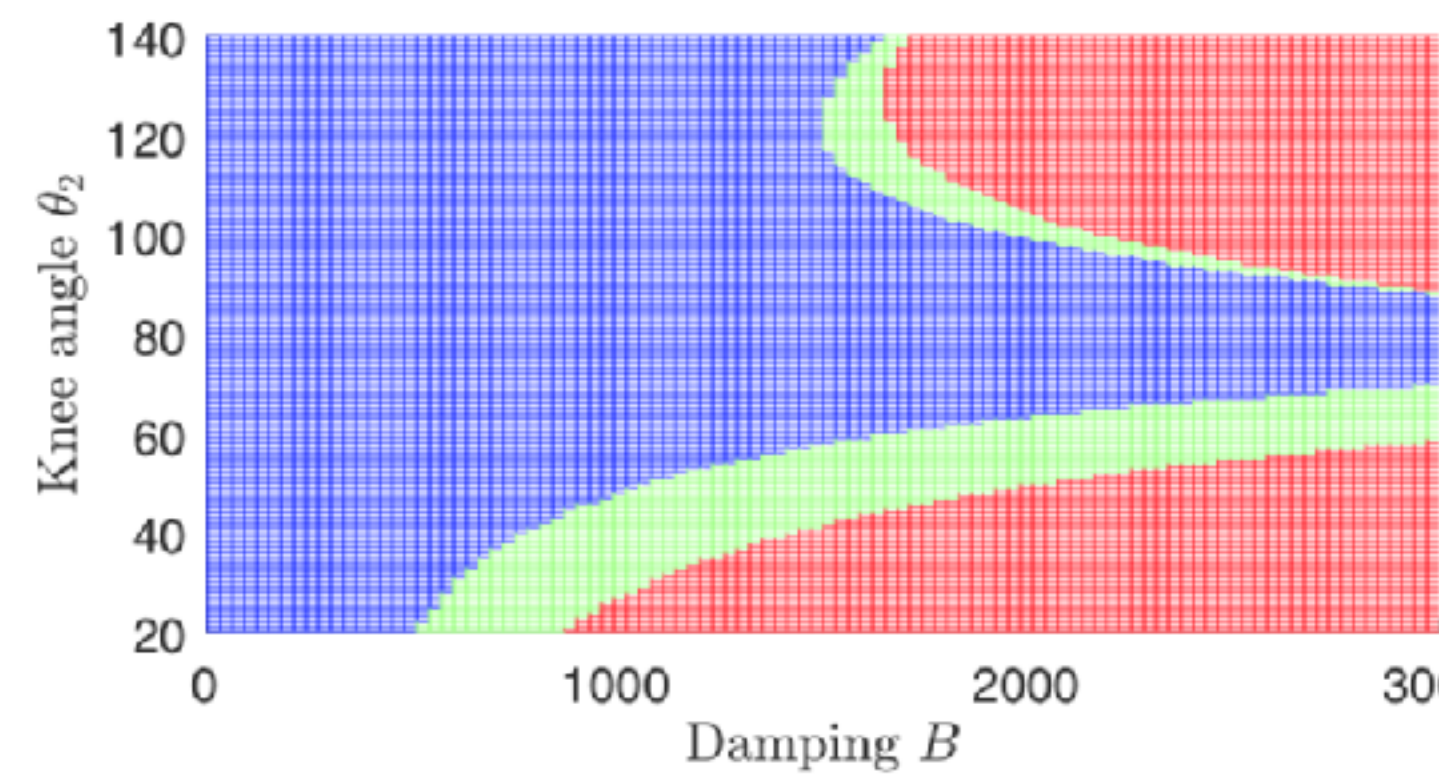
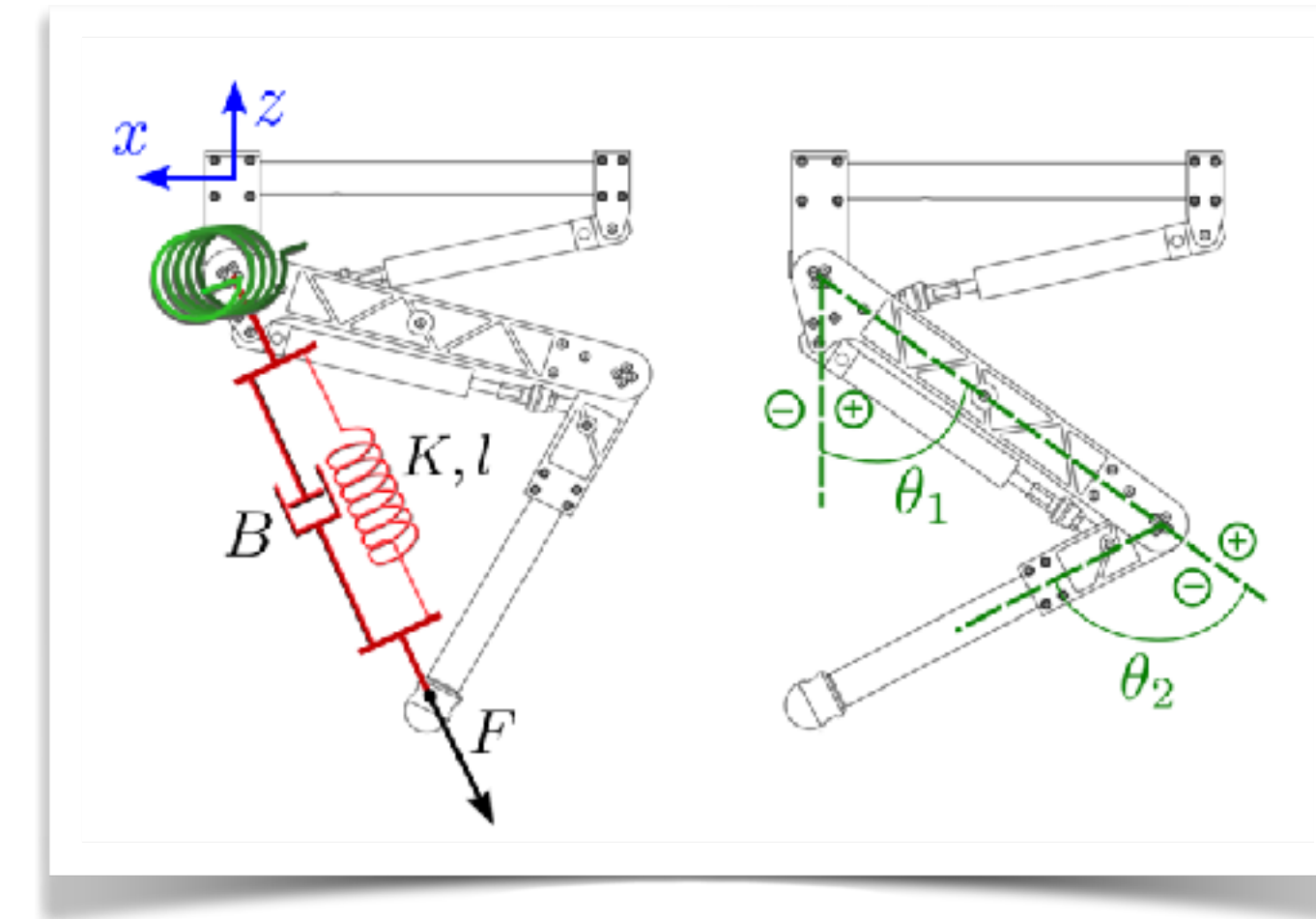
Boaventura, T., et al. Stability and performance of the compliance controller of the quadruped robot HyQ. IROS, 2013

Z-Width

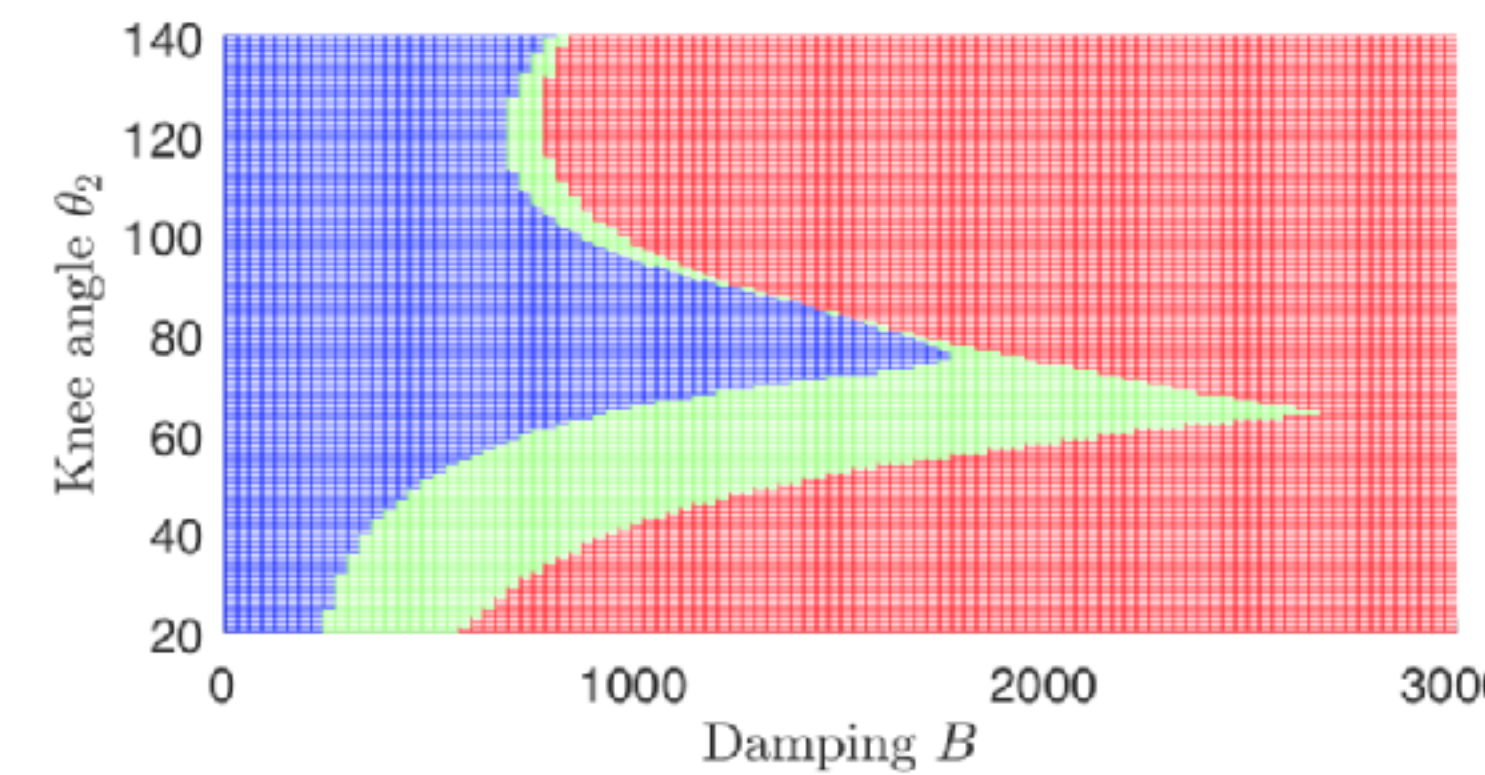
Revisão

Estabilidade

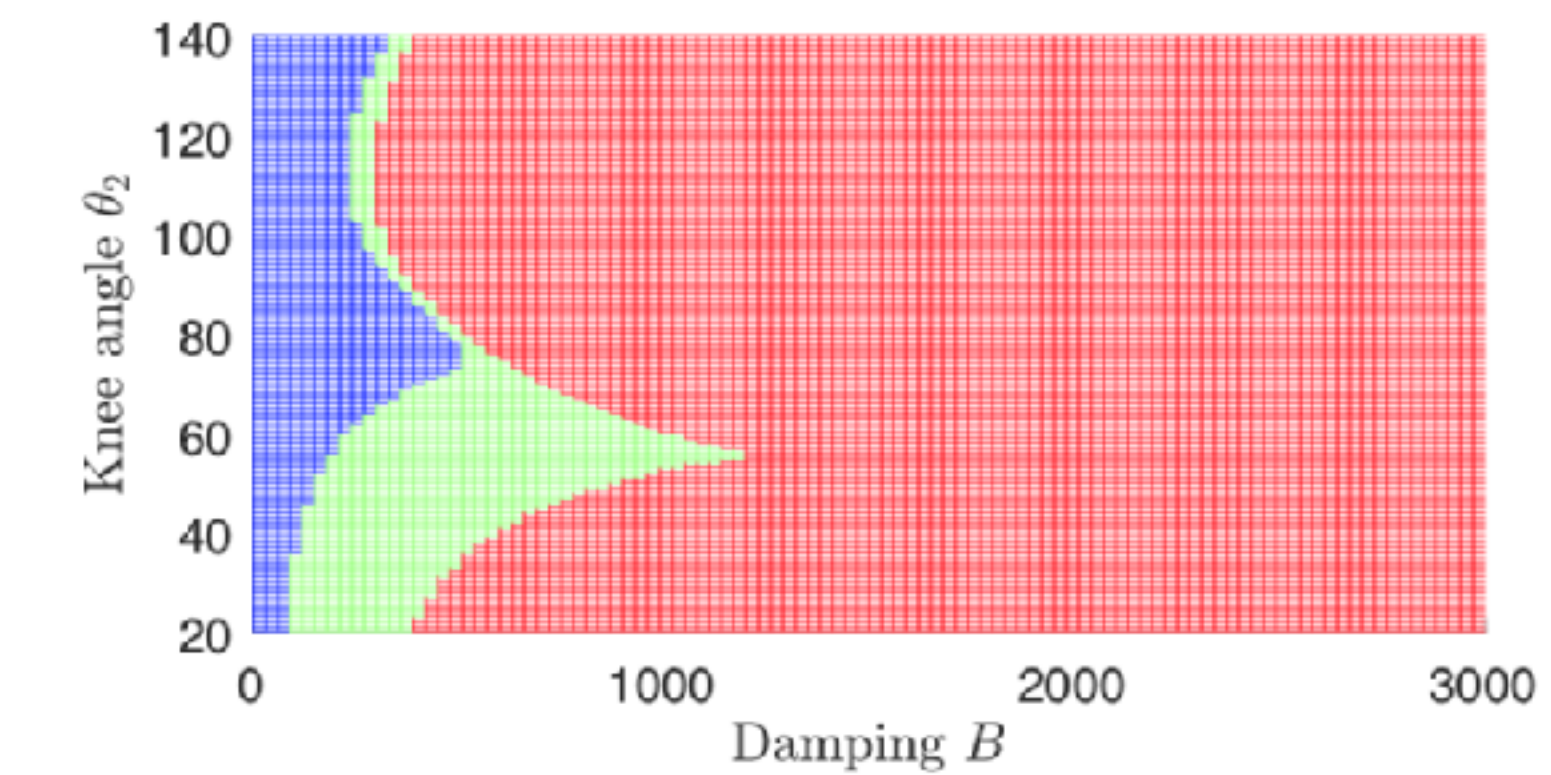
Conclusão



(a) $K_{PI} = 0.5$



(b) $K_{PI} = 1.0$



(c) $K_{PI} = 2.0$

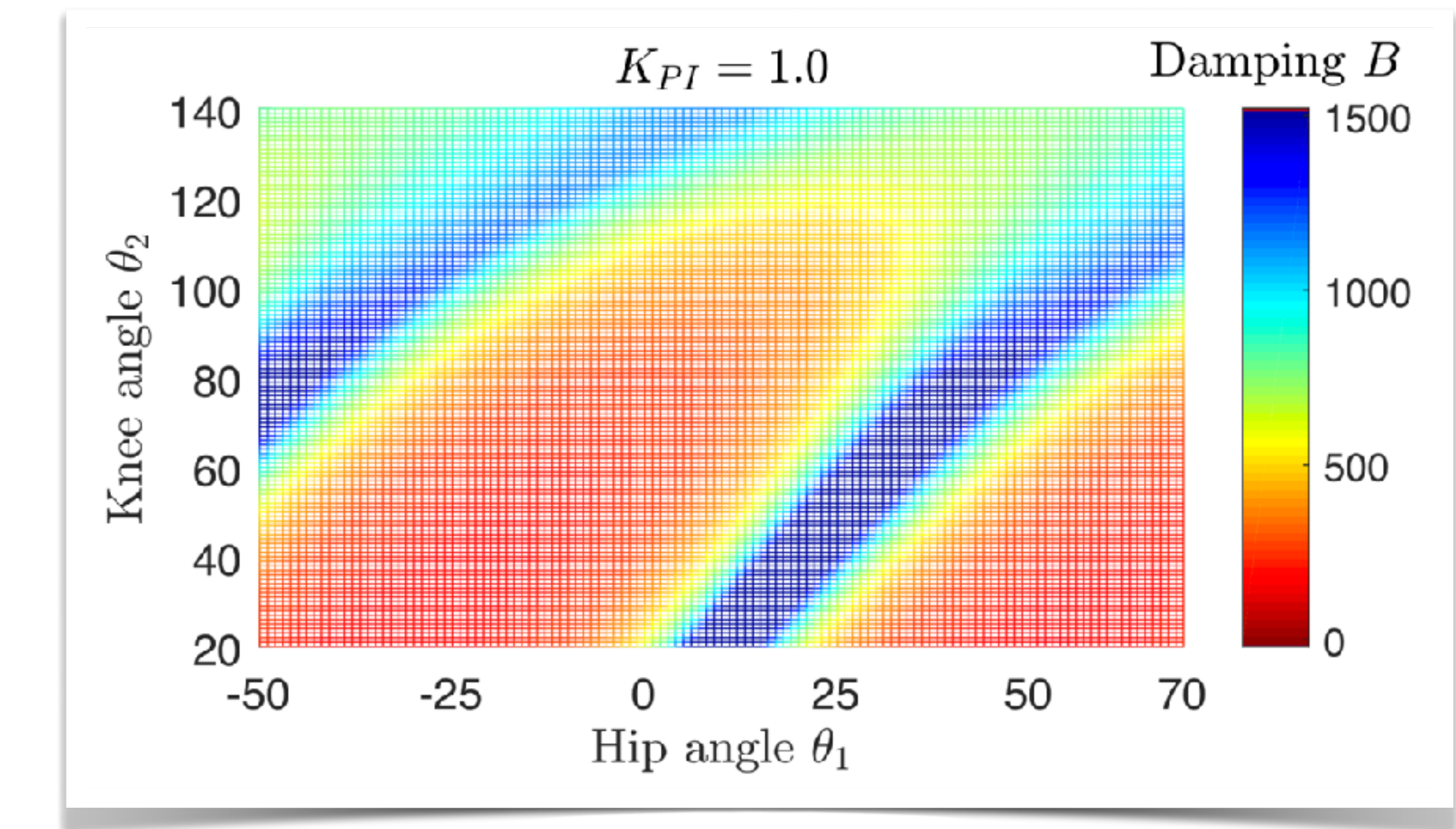
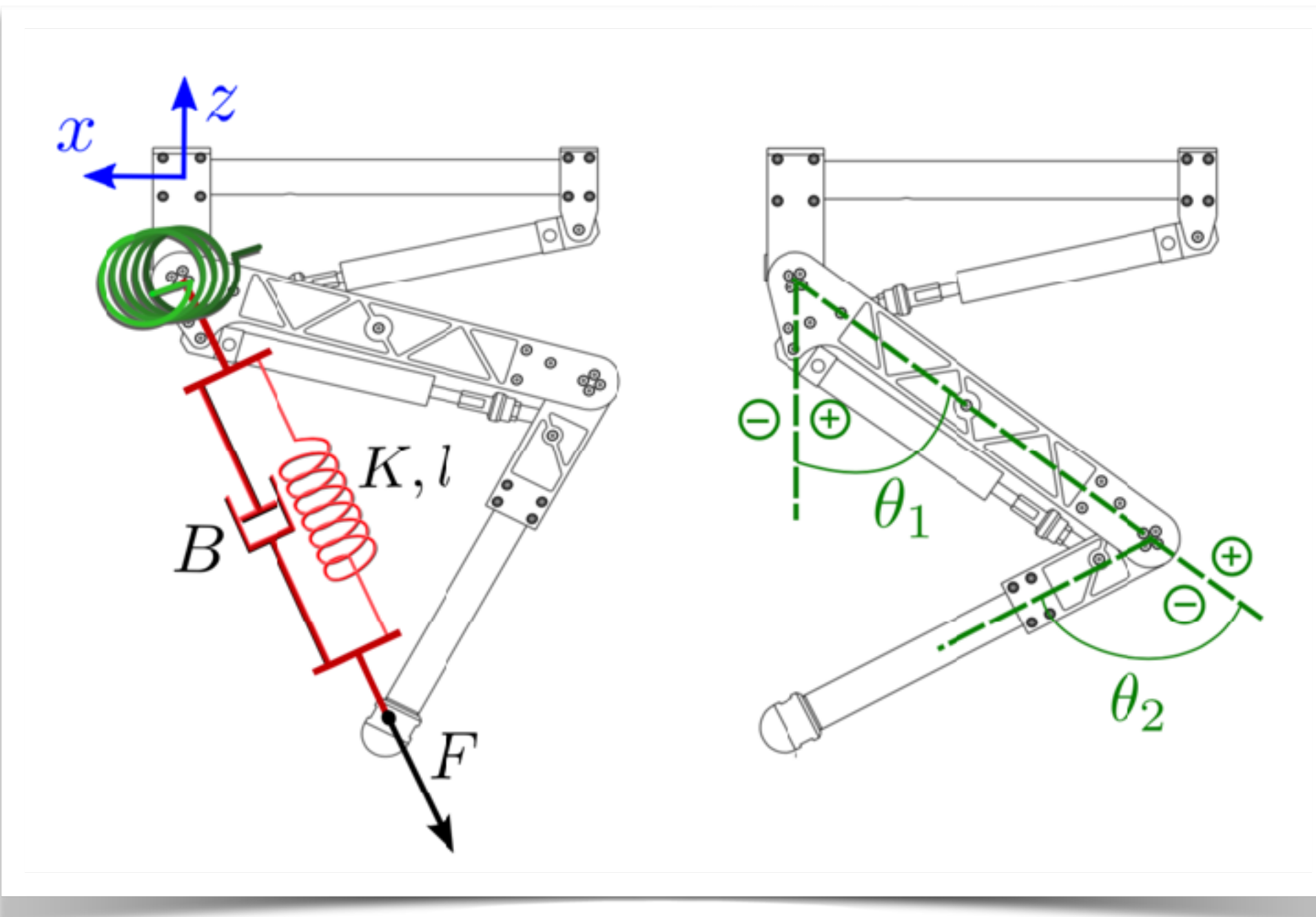
Higa, F. Y. G., et al. Joint kinematic configuration influence on the passivity of an impedance-controlled robotic leg. ICRA, 2019

Z-Width

Revisão

Estabilidade

Conclusão

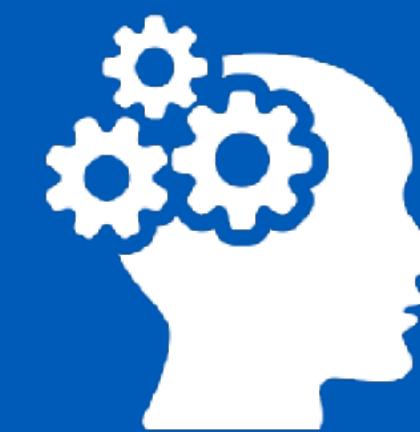


Higa, F. Y. G., et al. Joint kinematic configuration influence on the passivity of an impedance-controlled robotic leg. ICRA, 2019

Conteúdo

Revisão

Estabilidade



- Take-home messages
- Bibliografia

Conclusão

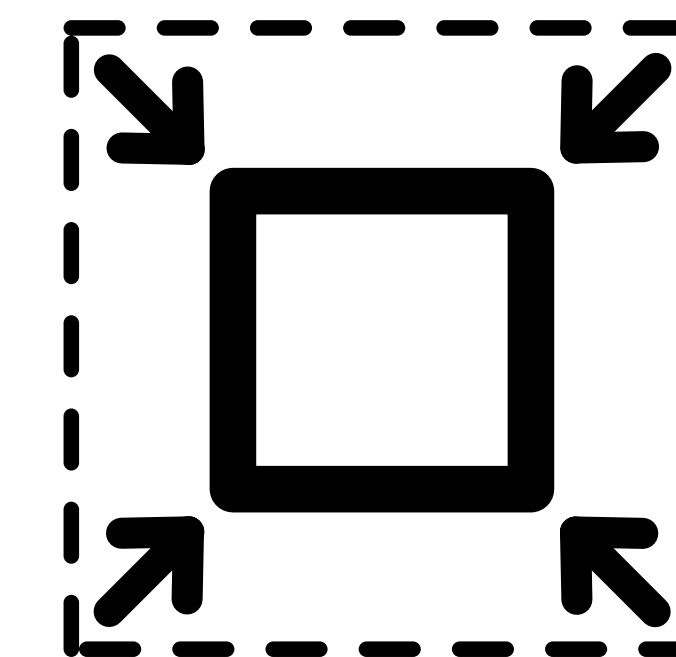
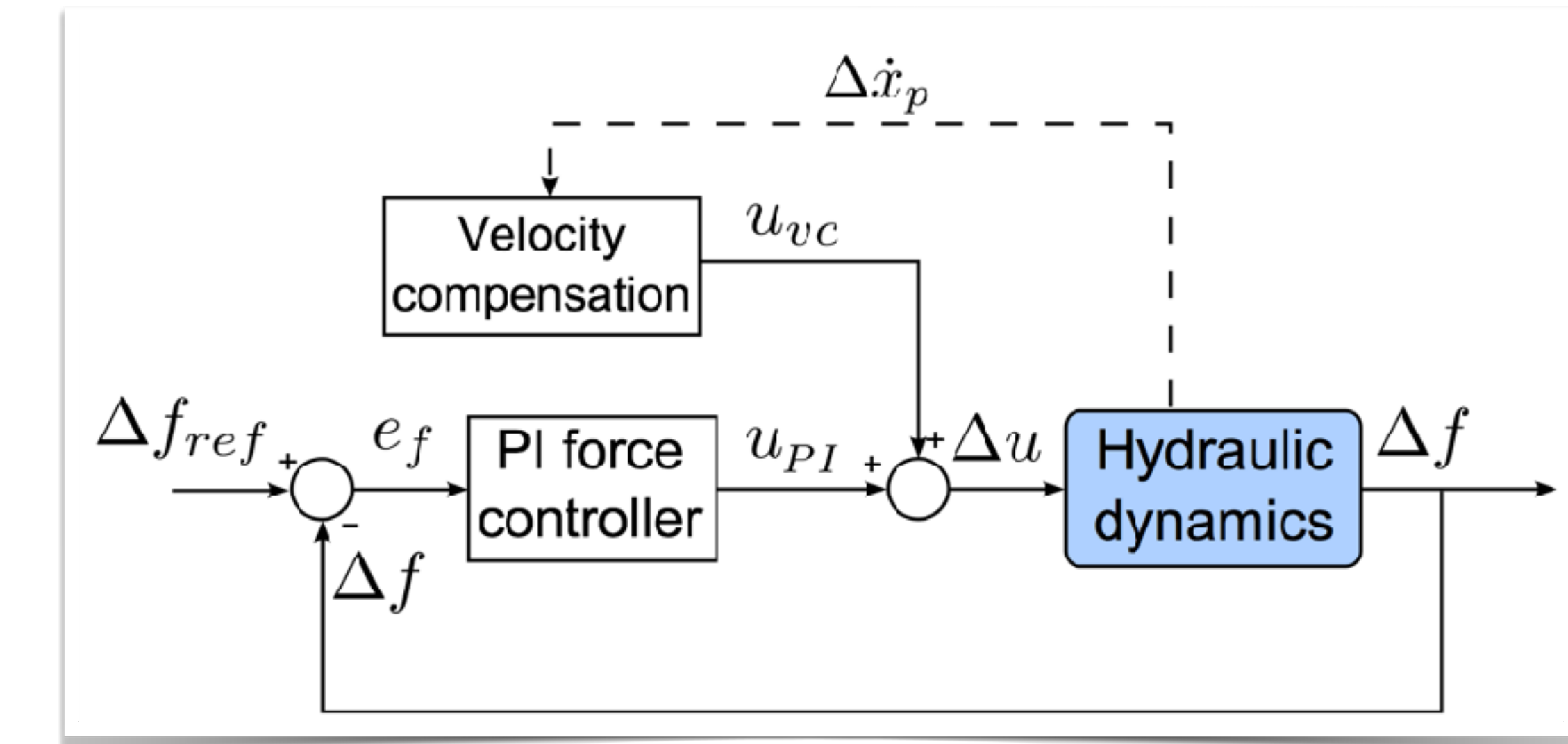


Take-home messages

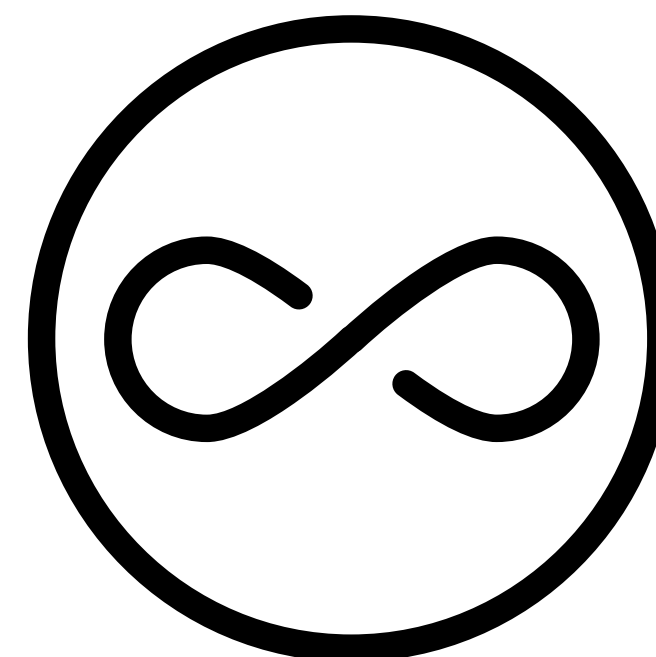
Revisão

Estabilidade

Conclusão



Reducir inércia aparente



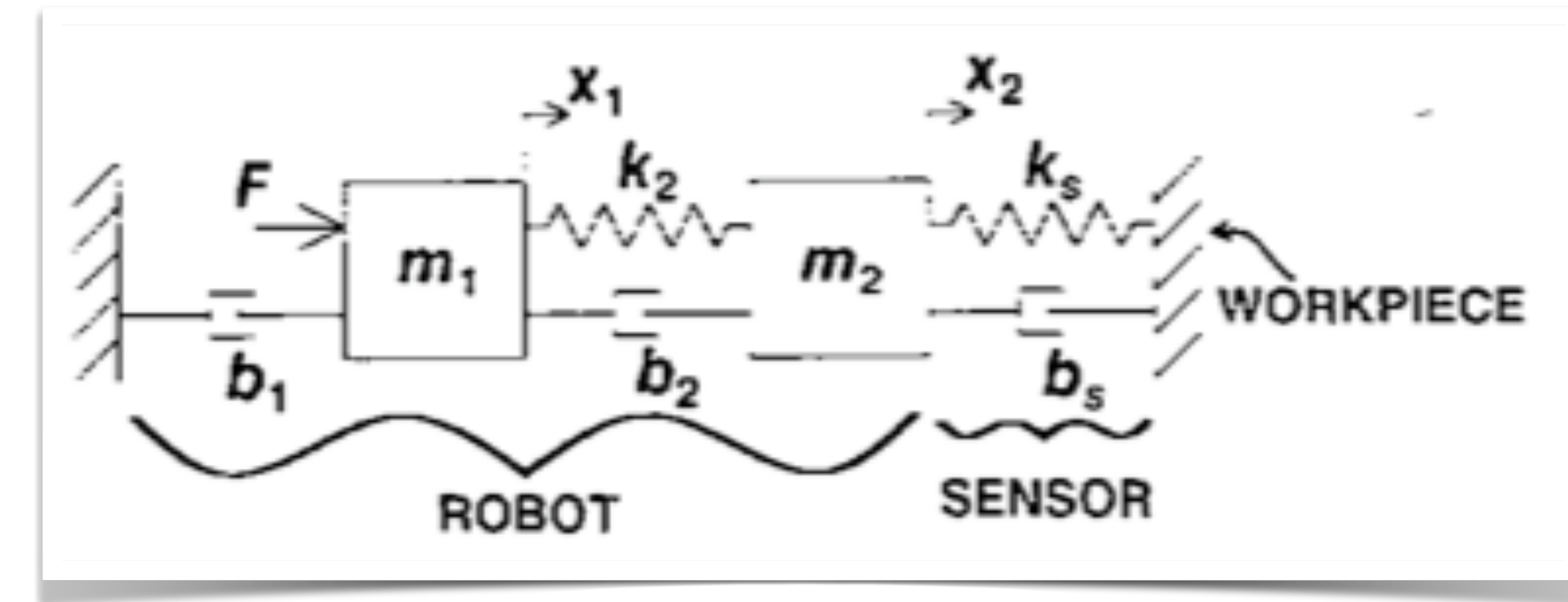
Problemas de estabilidade

Take-home messages

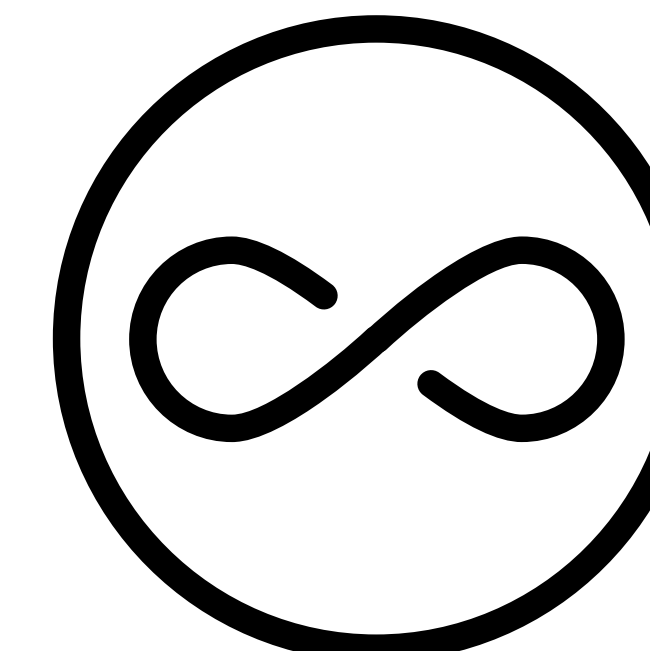
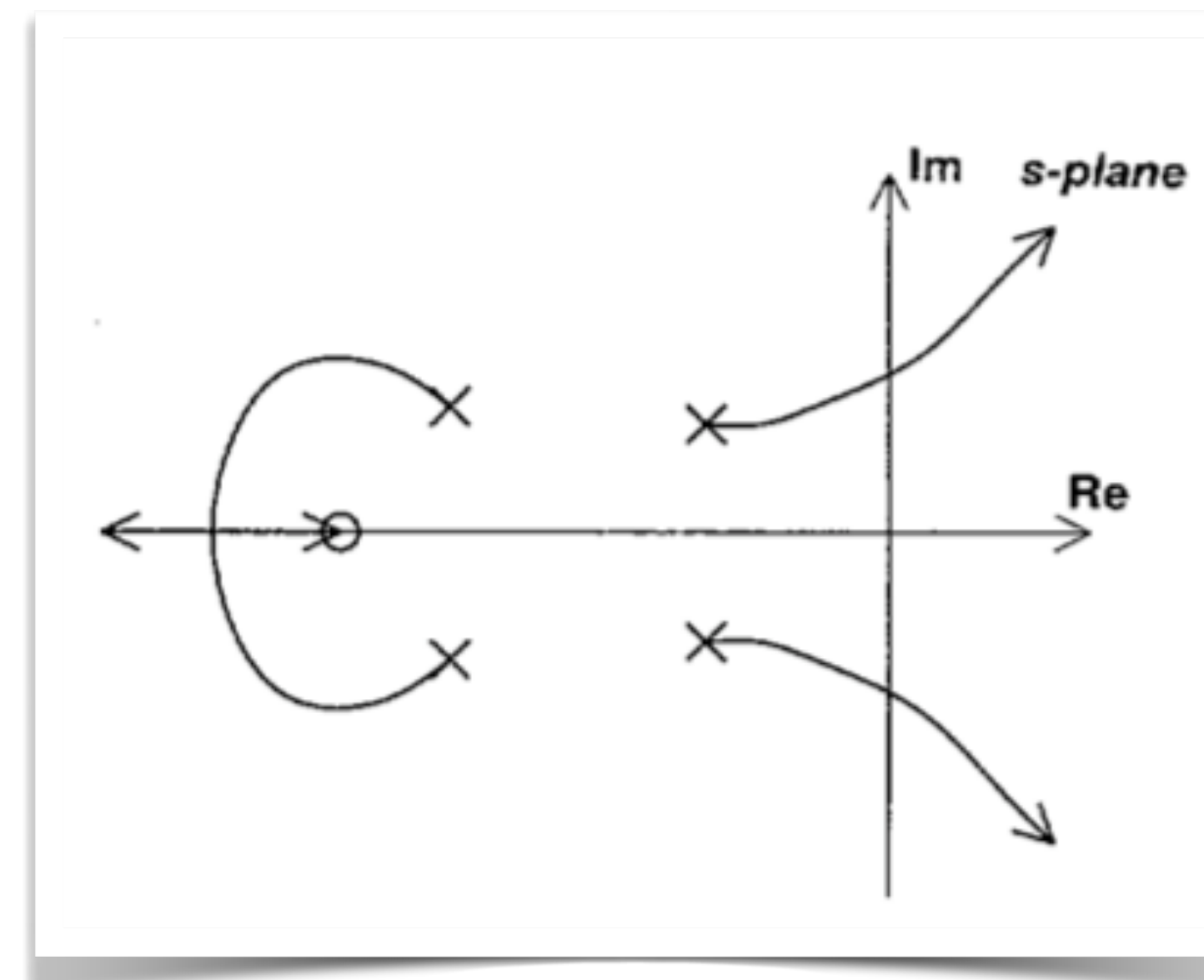
Revisão

Estabilidade

Conclusão



Non-collocation



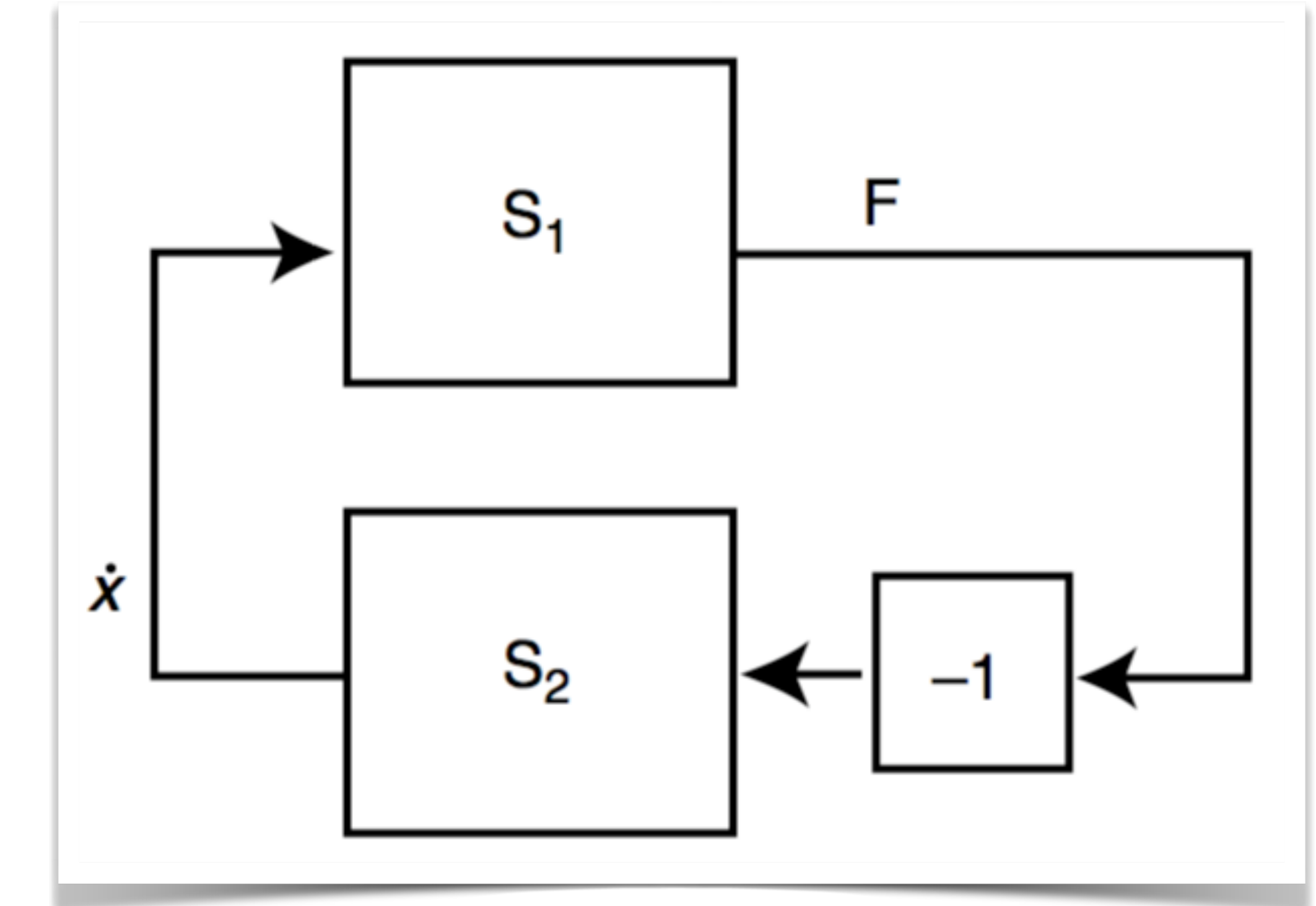
Problemas de estabilidade

Take-home messages

Revisão

Estabilidade

Conclusão



Take-home messages

Revisão

Estabilidade

Conclusão



Referência bibliográfica

Revisão



Colgate, J. E. The control of dynamically interacting systems. Diss. Massachusetts Institute of Technology, 1988.

Hogan N, Buerger S. P. Impedance and interaction control. Robotics and automation handbook. 2005;1

Lozano, R., et al. Dissipative systems analysis and control: theory and applications. Springer Science & Business Media, 2013.

Eppinger, S., and Seering, W. Introduction to dynamic models for robot force control. IEEE Control Systems Magazine, 1987.

Boaventura, T., et al. Stability and performance of the compliance controller of the quadruped robot HyQ. IROS, 2013

Conclusão

That's all folks!